

Компьютерная графика

Курс лекций

Тема №9. Формирование реалистичных изображений.

Средства повышения реалистичности изображения

- использование освещения:
 - модели освещения (диффузное, направленное);
 - отражение (диффузное, зеркальное) – свойства материала;
 - преломление;
 - прозрачность (blending, комбинация цветов в различных режимах), цвет;
 - построение теней;
- фактуры (текстуры) – нанесение некоторого изображения на поверхность или внесение возмущения в параметры поверхности;
- мультитекстурирование (multi-texturing), наложение карты окружения (environment mapping);
- движение, анимация;
- использование фракталов, шумовых функций (шум Перлина – Perlin noise);
- ...

Анимация

- анимация - изменение положения и свойств (формы, цвета, прозрачности и т.п.) объектов;
- методы анимации:
 - *анимация реального времени*: построение и отображение последовательности сцен по мере генерации в реальном времени;
 - *покадровая анимация*: сохранение последовательности сгенерированных кадров с последующим отображением;
- анимация и OpenGL: двойная буферизация.

Анимация: процедура

- *раскадровка*: определение набора базовых событий, которые должны произойти в сцене;
- *определение объектов* (через базовые формы, такие как полигональные или сплайновые поверхности) и *спецификация действия* (определение траекторий движения объектов и камеры);
- *определение ключевых кадров*: подробное изображение сцены в определенный момент анимационной последовательности, выбор которого задается:
 - крайними положениями движения;
 - исходя из необходимости обеспечить не слишком большой интервал между кадрами;
- *генерация промежуточных кадров* (последовательностей кадров между ключевыми кадрами, при этом траектория задается на основе кинематического описания или физических законов).

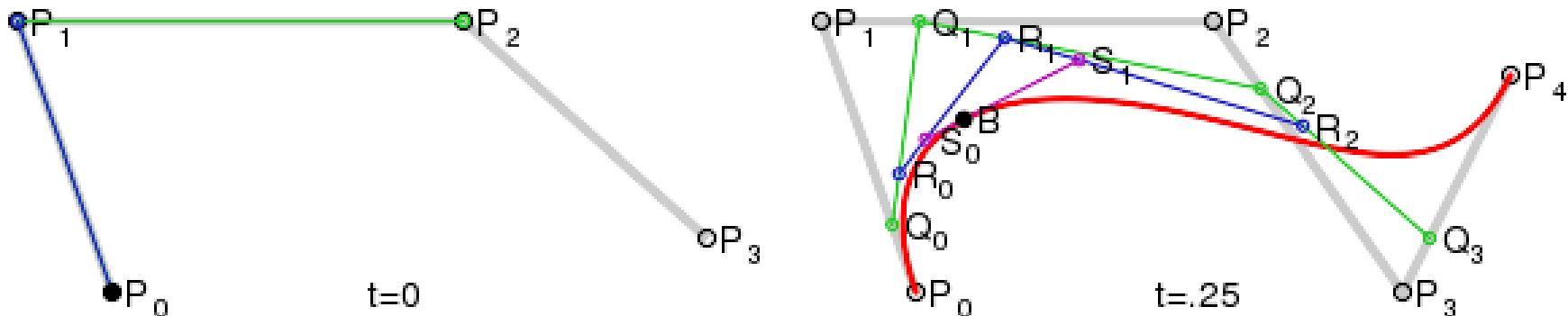
Движение

- синхронизация (timing) - связь реального времени с частотой смены кадра;
- спецификация движения:
 - прямая спецификация движения: явное задание матриц геометрических преобразований (углов движения и векторов перемещения) объектов сцены, или задание аппроксимирующих кривых;
 - целенаправленная спецификация: определение набора действий и поддействий, приводящих к некоторому результату;
 - спецификация на основе физических законов:
 - кинематическое описание (задание положения, скорости, ускорения; или задание траектории);
 - обратное кинематическое описание (определение параметров движения через заданное начальное и конечное положение объекта);
 - динамическое описание (определение сил, использование законов сохранения) – физическое моделирование;
 - обратное динамическое описание (определение действующих сил через заданное начальное и конечное положение объекта).

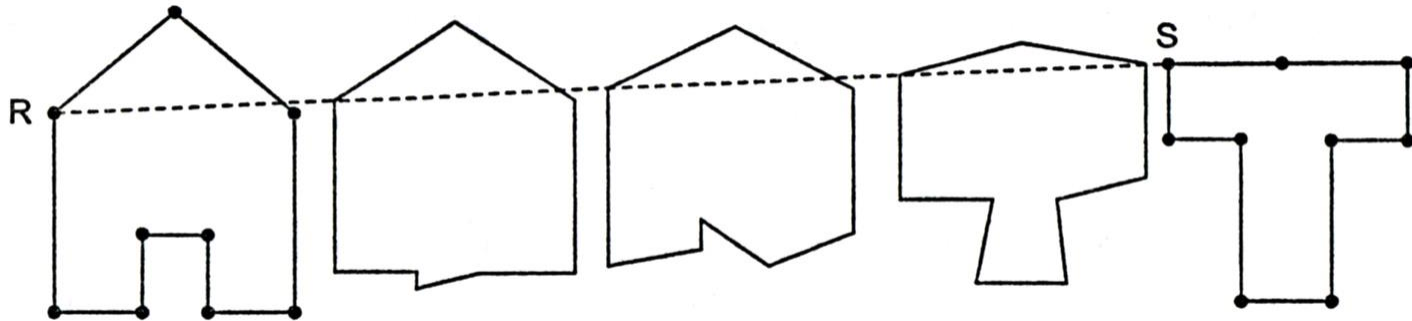
Твининг-анимация

- *твининг-анимация*: преобразование формы фигуры (ломаной), при котором каждая точка (вершина) перемещается по траекториям, представляющим собой кривые Безье:
 - линейная: $(1-t) + t$
 - квадратичная: $((1-t) + t)^2 = (1-t)^2 + 2(1-t)t + t^2$
 - кубическая: $((1-t) + t)^3 = (1-t)^3 + 3(1-t)^2t + 3(1-t)t^2 + t^3$

$$\mathbf{B}(t) = \sum_{i=0}^n \mathbf{P}_i \mathbf{b}_{i,n}(t), \quad t \in [0, 1]$$



Твининг-анимация: пример



$$p(t) = (1 - t) \cdot A + t \cdot B, \text{ где } t \in [0, 1]$$

Учет физических законов

- время (синхронизация: связь реального времени с частотой смены кадра);

- масса (определение центра масс):

$$\mathbf{r}_c = \text{SUM}(\mathbf{c}_i \cdot m_i) / \text{SUM}(m_i)$$

- скорость (привязывается к частоте смены кадров):

$$v_x = \cos(\alpha) \cdot |\mathbf{v}|$$

$$v_y = \sin(\alpha) \cdot |\mathbf{v}|$$

- в программе:

`p.x += v.x; p.y += v.y;`

- ускорение:

$$\mathbf{a} = d/dt \cdot \mathbf{v} \qquad (\mathbf{F} = d/dt \cdot (m\mathbf{v}))$$

$$v_t = v_0 + a \cdot t$$

$$x_t = x_0 + v_0 \cdot t + a \cdot t^2 / 2$$

- в программе:

`p += velocity; velocity += acceleration;`

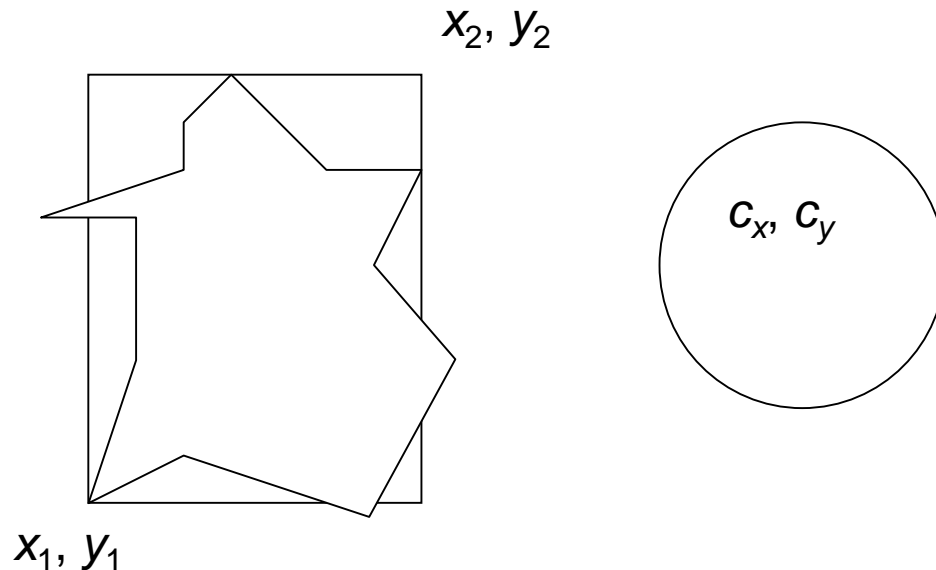
Обнаружение столкновений

- обнаружение столкновения двух окружностей:

$$(p_1.x - p_2.x)^2 + (p_1.y - p_2.y)^2 < (r_1 + r_2)^2$$

- обнаружение столкновения окружности и многоугольника (в частном случае – регулярного прямоугольника):

$$(x_1 - r < c.x < x_2 + r) \& (y_1 - r < c.y < y_2 + r)$$



Абсолютно упругие соударения

- при абсолютно упругих соударениях:
 - не происходит деформации объектов при соударении;
 - применимы законы сохранения импульса и энергии;
- центральное соударение шаров:
 - законы сохранения импульса и массы:
$$v_{1i} \cdot m_1 + v_{2i} \cdot m_2 = v_{1f} \cdot m_1 + v_{2f} \cdot m_2$$
$$m_1 \cdot v_{1i}^2 + m_2 \cdot v_{2i}^2 = m_1 \cdot v_{1f}^2 + m_2 \cdot v_{2f}^2$$
 - решение:
$$v_{1f} = (2 \cdot m_2 \cdot v_{2i} + (m_1 - m_2) \cdot v_{1i}) / (m_1 + m_2)$$
$$v_{2f} = (2 \cdot m_2 \cdot v_{1i} + (m_2 - m_1) \cdot v_{2i}) / (m_1 + m_2)$$
- соударение шара с наклонной плоскостью:
$$y + k \cdot x + b = 0$$
$$(x - x_c)^2 + (y - y_c)^2 = R^2$$

+ 2 параметрических уравнения перемещения центра
+ $D = 0$ (касание)
- соударение шара с горизонтальной / вертикальной плоскостью:
 - угол падения равен углу отражения;
 - модуль скорости после соударения не изменяется.

Построение реалистических изображений

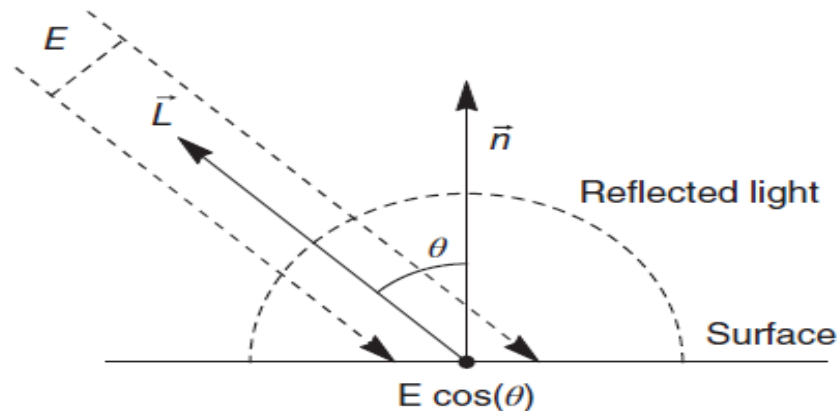


- восприятие света включает как физические, так и психологические процессы, что необходимо учитывать при построении реалистических изображений;
- примеры влияния восприятия:
 - эффект полос Маха (Mach bands);
 - одновременный контраст;
- при моделировании освещения используют упрощенные эмпирические модели, отражающие компромисс между реалистичностью и объёмом необходимых вычислений:
 - прямолинейное распространение света (light rays);
 - точечные источники света;
 - простая модель освещения (модель Фонга), BRDF (bidirectional reflectance distribution function), излучательность (radiosity);
 - интерполяционное закрашивание (Гуро, Фонг).

Освещение

- световая энергия, падающая на поверхность, может быть:
 - поглощена (absorption);
 - отражена (reflection);
 - пропущена (transmission);
- количество поглощенной, отраженной или пропущенной энергии зависит от длины волны света (соответственно, изменяется распределение энергии и объект выглядит цветным, а цвет объекта определяется поглощаемыми длинами волн);
- если объект поглощает весь падающий свет, то он невидим и называется *абсолютно черным телом*;
- свойства отраженного света зависят:
 - от строения, направления и формы источника света;
 - от ориентации и свойств поверхности (диффузное и зеркальное отражение).

- Light



Диффузное отражение (diffuse scattering): закон косинусов Ламберта

- диффузное отражение света происходит, когда свет как бы проникает под поверхность объекта, поглощается, а затем вновь испускается;
- диффузно отраженный свет рассеивается равномерно по всем направлениям, следовательно, положение наблюдателя не имеет значения;
- свет точечного источника отражается от идеального рассеивателя по закону косинусов Ламберта (Lambert): интенсивность отраженного света пропорциональна косинусу угла между направлением света и нормалью к поверхности:

$$I = I_l k_d \cos \theta$$

- где I — интенсивность отраженного света,
 - I_l — интенсивность точечного источника,
 - k_d — коэффициент диффузного отражения ($0 \leq k_d \leq 1$),
 - θ — угол между направлением света и нормалью к поверхности
-
- цвет определяется свойствами материала;
 - коэффициент диффузного отражения k_d зависит от материала и длины волны света, но в простых моделях освещения обычно считается постоянным.

Рассеянный свет (фоновый, ambient light)

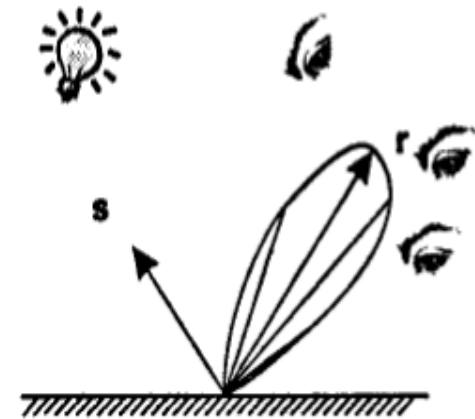
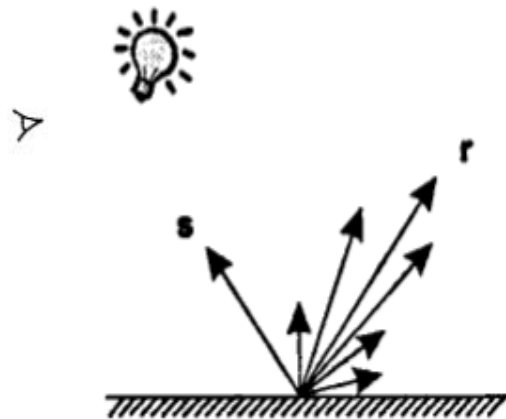
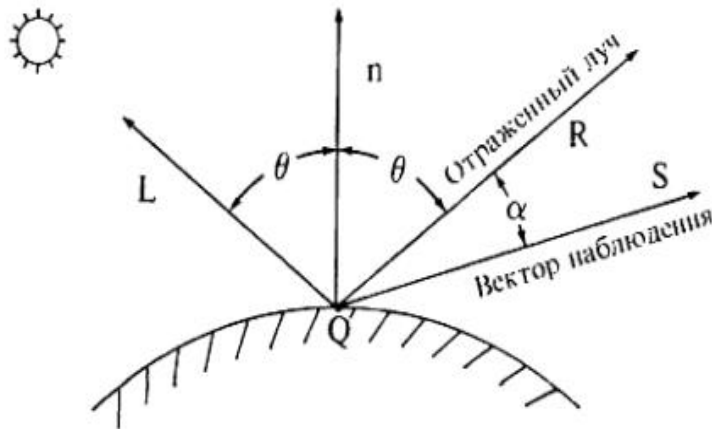
- на объекты реальных сцен падает рассеянный свет, отраженный от окружающей обстановки;
- рассеянному свету соответствует распределенный источник;
- поскольку для расчета таких источников требуются большие вычислительные затраты, в машинной графике они обычно заменяются на константный коэффициент рассеяния:

$$I = I_a k_a$$

- где I — результирующая составляющая интенсивности рассеянного света,
- I_a — интенсивность рассеянного света,
- k_a — коэффициент диффузного отражения рассеянного света ($0 \leq k_a \leq 1$),
- цвет определяется свойствами материала.

Зеркальное отражение (specular reflection)

- зеркальное отражение происходит от внешней поверхности объекта (за исключением металлов и некоторых твердых красителей), следовательно, отраженный луч сохраняет свойства падающего: цвет определяется свойствами источника;
- интенсивность зеркально отраженного света зависит от:
 - угла падения;
 - длины волны падающего света;
 - свойств вещества;
- зеркальное отражение света является направленным:
 - угол отражения от идеальной отражающей поверхности (зеркала) равен углу падения, в любом другом положении наблюдатель не видит зеркально отраженный свет;
 - если поверхность не идеальна, то количество света, достигающее наблюдателя, зависит от пространственного распределения зеркального отраженного света (у гладких поверхностей распределение узкое или сфокусированное, у шероховатых — более широкое).

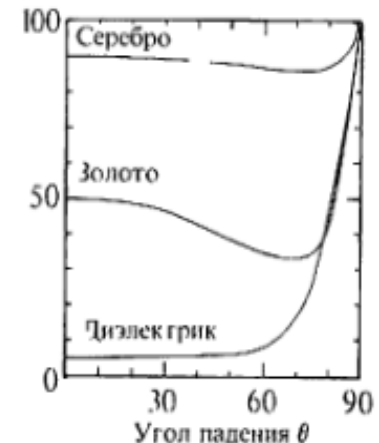
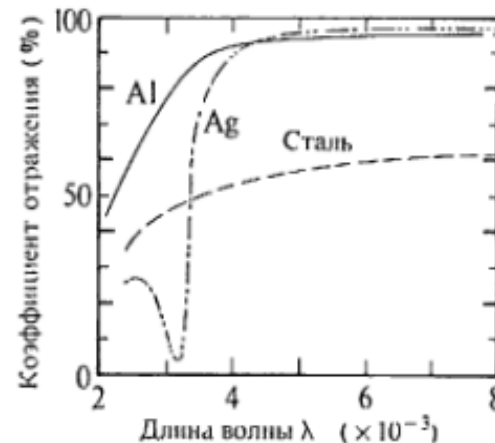
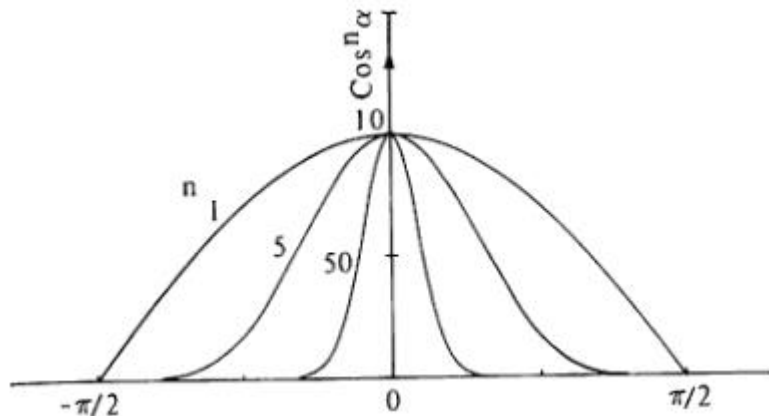


Зеркальное отражение: модель Фонга

- в простых моделях освещения обычно пользуются эмпирической моделью Фонга (Phong), так как физические свойства зеркального отражения очень сложны:

$$I_s = I_l w(\theta, \lambda) \cos^n \alpha$$

- где $w(\theta, \lambda)$ — кривая отражения, представляющая отношение зеркально отраженного света к падающему как функцию угла падения θ и длины волны λ ; (коэффициент зеркального отражения зависит от угла падения, однако даже при перпендикулярном падении зеркально отражается только часть света, а остальное либо поглощается, либо диффузно отражается)
- n - степень, аппроксимирующая пространственное распределение зеркально отраженного света (большие значения n дают сфокусированные пространственные распределения характеристик металлов и других блестящих поверхностей, а малые — более широкие распределения для неметаллических поверхностей)
- при падении под скользящим углом (в 90°) отражается весь падающий свет (коэффициент отражения 100%);
- функция $w(\theta, \lambda)$ довольно сложна, поэтому ее обычно заменяют константой k_s , которая либо выбирается из эстетических соображений, либо определяется экспериментально.

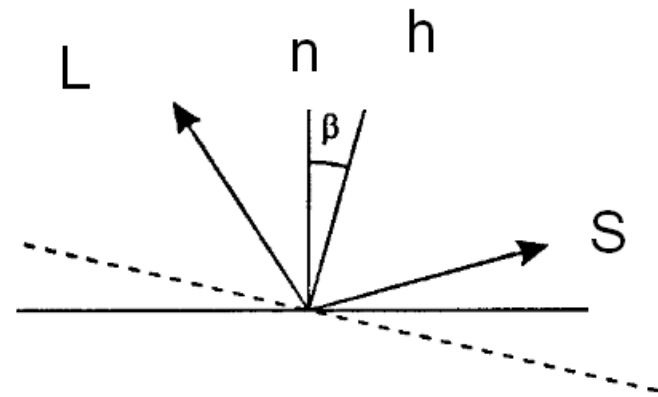
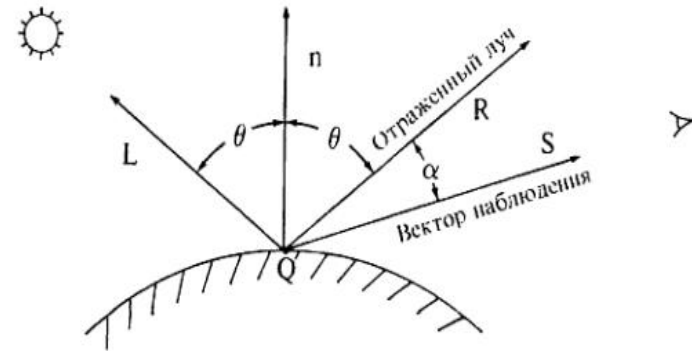


Вычисление вектора отражения и промежуточного вектора

- вектор отражения вычисляется по следующей формуле:

$$\vec{R} = -\vec{L} + 2 \frac{(\vec{L} \cdot \vec{n})}{|\vec{n}|^2} \vec{n}$$

- где \vec{L} – вектор, направленный из точки падения в направлении источника,
 - \vec{n} – нормаль к поверхности в точке падения,
 - \vec{R} – вектор зеркального отражения
- вычисление промежуточного вектора (Блинн):
 - промежуточный вектор (halfway vector) представляет собой направление воображаемой нормали, при котором вектор отражения совпал бы с вектором наблюдения: $\vec{H} = \vec{L} + \vec{S}$
 - промежуточный вектор можно использовать вместо вектора отражения для ускорения вычислений: угол между \vec{H} и \vec{n} вдвое больше угла между \vec{R} и \vec{S} , и $(\vec{H} \cdot \vec{n})$ можно использовать в компоненте зеркального отражения.



Учет расстояния от источника света до поверхности

- исходя из физических законов интенсивность света обратно пропорциональна квадрату расстояния от источника до объекта, однако, если источник света находится в бесконечности, то диффузный и зеркальный члены модели освещения обратятся в нуль;
- следовательно, при реализации модели освещения применяют некоторые эмпирические коэффициенты для достижения наибольшей реалистичности построенного изображения:
 - в случае перспективного преобразования сцены в качестве коэффициента пропорциональности можно взять расстояние d от центра проекции до объекта;
 - если центр проекции лежит близко к объекту, d^2 изменяется очень быстро, т. е. у объектов, лежащих примерно на одинаковом расстоянии от источника, разница интенсивностей чрезмерно велика;
 - большей реалистичности можно добиться при линейном затухании, если предполагается, что точка наблюдения находится в бесконечности, то d определяется положением объекта, ближайшего к точке наблюдения (ближайший объект освещается с полной интенсивностью источника, а более далекие - с уменьшенной).

$$a_2 D^2 + a_1 D + a_0$$

Простая модель освещения (модель освещения Фонга)

- расчет интенсивности с учетом рассеянного, диффузного и зеркального компонентов освещения

$$I = I_a k_a + \frac{I_l}{d + K} (k_d \cos \theta + k_s \cos^n \alpha)$$

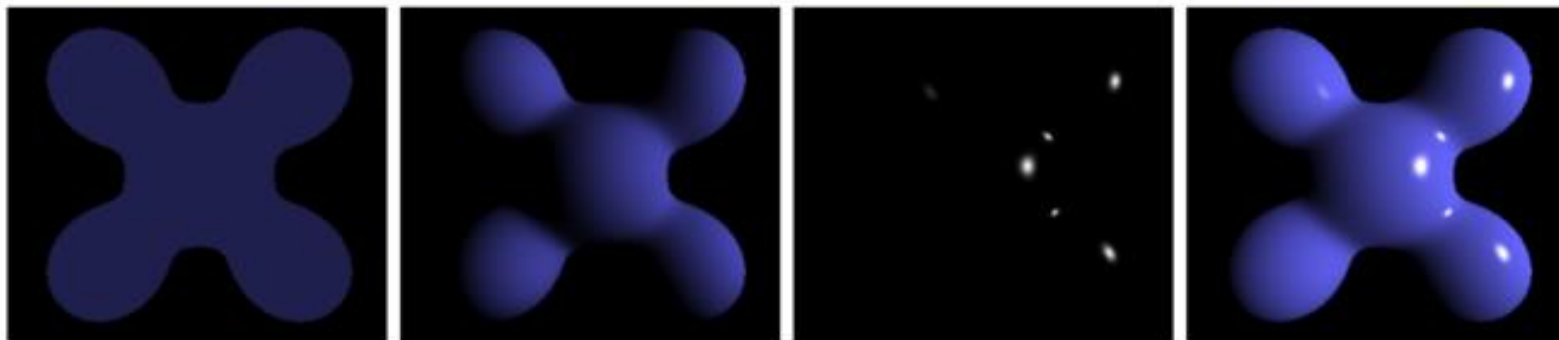
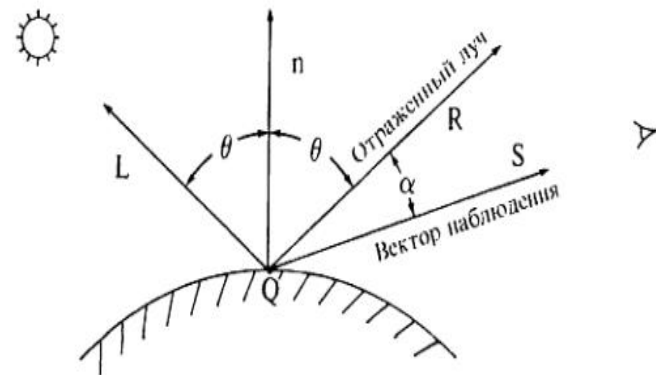
- в векторной форме

$$I = I_a k_a + \frac{I_l}{d + K} [k_d (\hat{\mathbf{n}} \cdot \hat{\mathbf{L}}) + k_s (\hat{\mathbf{R}} \cdot \hat{\mathbf{S}})^n]$$

- с учетом нескольких источников света

$$I = I_a k_a + \sum_{j=1}^m \frac{I_{lj}}{d + K} (k_d \cos \theta_j + k_s \cos^n \alpha_j)$$

- для цветных поверхностей модель освещения применяется к каждому из трех основных цветов



Ambient

+

Diffuse

+

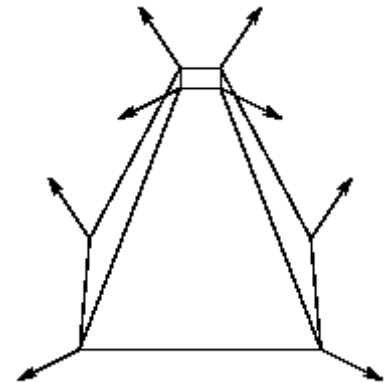
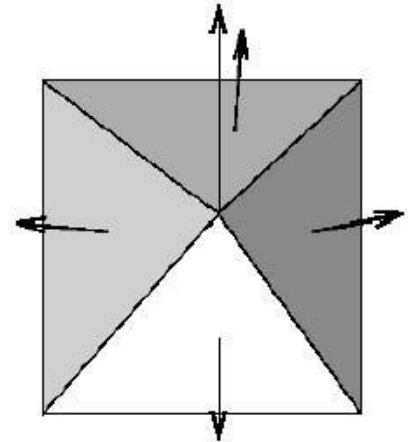
Specular

=

Phong Reflection

Закрашивание граней

- определение нормалей:
 - нормаль к граням (внешняя нормаль);
 - нормаль в вершине (вычисляется усреднением нормалей смежных граней);
- методы закрашивания:
 - плоское (однотонное) компоненты модели освещения вычисляются один раз для каждой грани;
 - плавное (интерполяционное):
 - метод Гуро: билинейная интерполяция интенсивности, вычисляемой в вершинах многоугольника;
 - метод Фонга: билинейная интерполяция нормалей в вершинах, на основании которых вычисляются компоненты модели освещения;
- рассматриваются выпуклые многоугольники;
- управление закрашиванием в OpenGL:
`glShadeModel(GL_FLAT | GL_SMOOTH)`



Закраска Гуро (Gouraud shading)

- метод Гуро основан на билинейной интерполяции интенсивности, вычисляемой в вершинах многоугольника:

$$I_Q = uI_A + (1 - u)I_B \quad 0 \leq u \leq 1$$

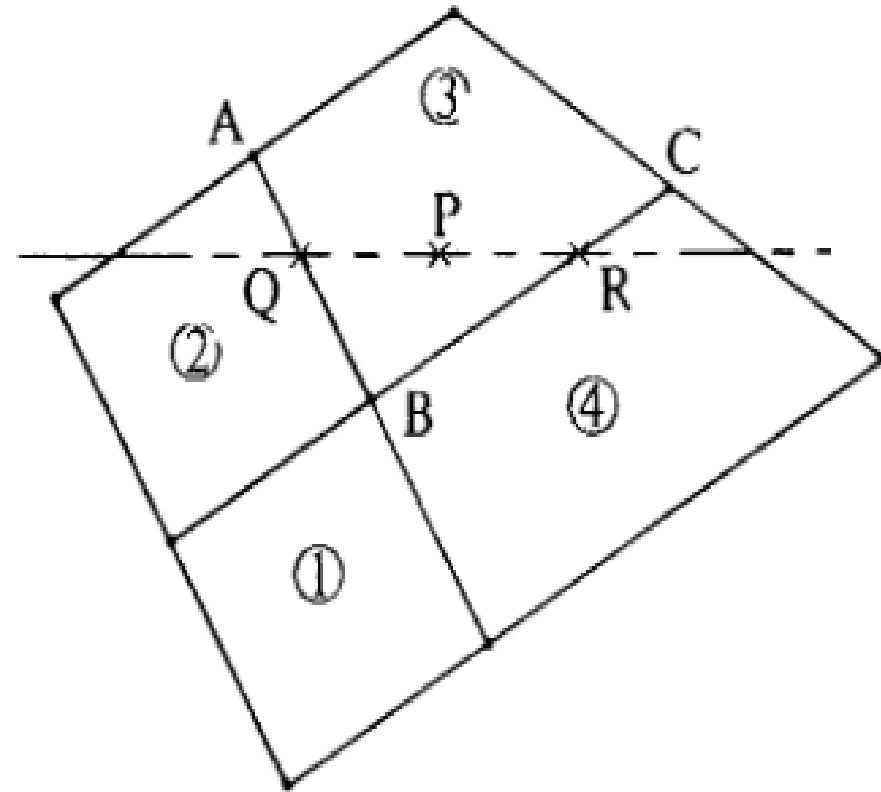
$$I_R = wI_B + (1 - w)I_C \quad 0 \leq w \leq 1$$

$$I_P = tI_Q + (1 - t)I_R \quad 0 \leq t \leq 1$$

$$I_{P_2} = t_2I_Q + (1 - t_2)I_R$$

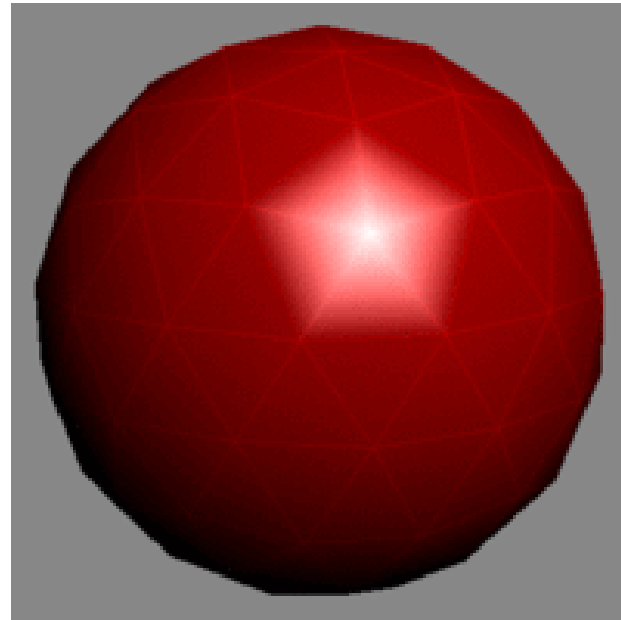
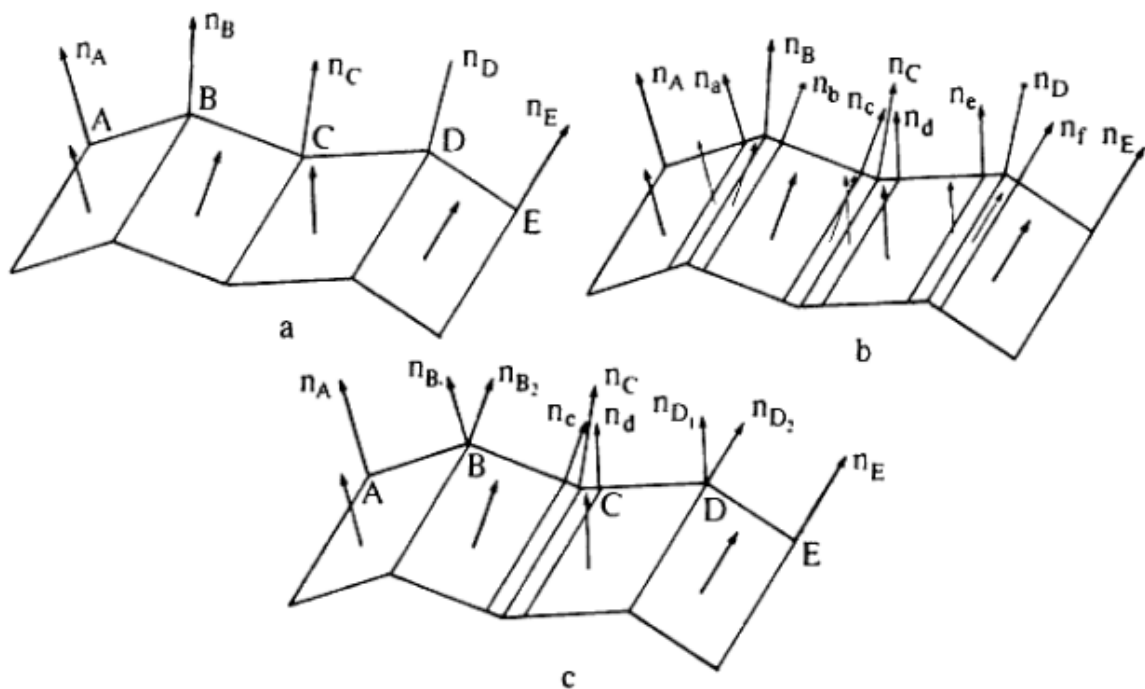
$$I_{P_1} = t_1I_Q + (1 - t_1)I_R$$

$$I_{P_2} = I_{P_1} + (I_Q - I_R)(t_2 - t_1) = I_{P_1} + \Delta I \Delta t$$



Закраска Гуро: анализ

- эффективность сопоставима с плоским закрашиванием, так как не требуется значительного объема вычислений;
- не является реализацией физического закона \rightarrow не учитывает блики;
- результат зависит от выбора нормалей (проблемы с равномерно волнистой поверхностью);
- возможно появление эффекта полос Маха.



Закраска Фонга (Phong shading)

- метод Фонга основан на билинейной интерполяции нормалей в вершинах, на основании которых вычисляются компоненты модели освещения;
- СВОЙСТВА:
 - достигается лучшая локальная аппроксимация кривизны поверхности;
 - необходима нормализация вычисляемых векторов;
 - метод требует значительного объема вычислений;
 - возможно появление эффекта полос Маха.

$$\mathbf{n}_Q = u\mathbf{n}_A + (1 - u)\mathbf{n}_B \quad 0 \leq u \leq 1$$

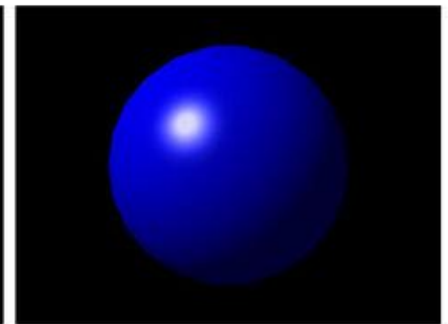
$$\mathbf{n}_R = w\mathbf{n}_B + (1 - w)\mathbf{n}_C \quad 0 \leq w \leq 1$$

$$\mathbf{n}_P = t\mathbf{n}_Q + (1 - t)\mathbf{n}_R \quad 0 \leq t \leq 1$$

$$\mathbf{n}_{P_2} = \mathbf{n}_{P_1} + (\mathbf{n}_Q - \mathbf{n}_R)(t_2 - t_1) = \mathbf{n}_{P_1} + \Delta\mathbf{n} * \Delta t$$



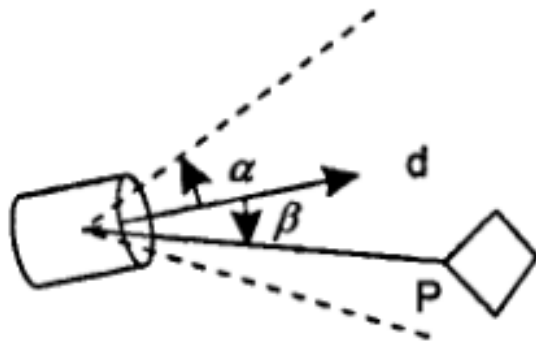
FLAT SHADING



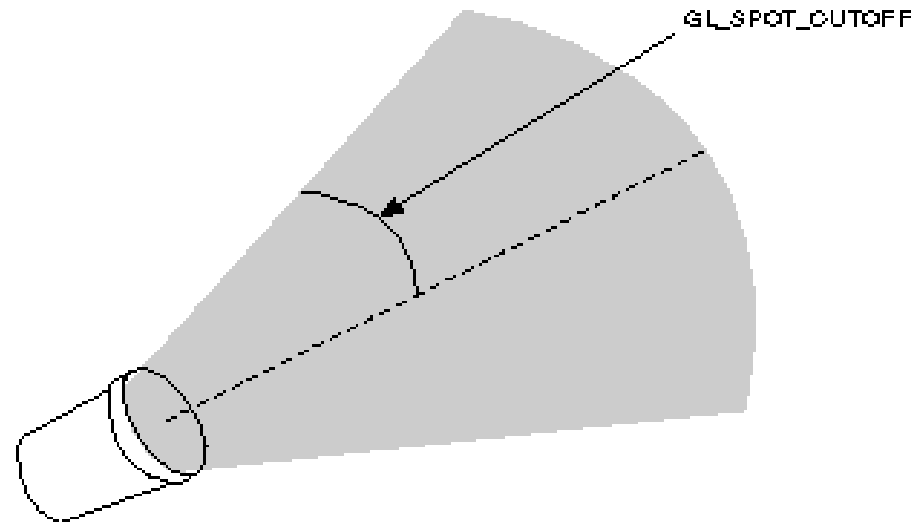
PHONG SHADING

Использование направленного сфокусированного источника света

- направленный сфокусированный источник (прожектор) представляет собой источник света, излучающий внутри некоторого конуса (с вершиной в источнике);
- для определения направленного сфокусированного источника света задаются:
 - направление (ориентация оси конуса);
 - угол при вершине конуса (или его половина) – *угол пропускания*;
 - степень сфокусированности источника (задает распределение света внутри конуса).



$$I = I_l \cos^{\varepsilon} \beta$$



Модель освещения OpenGL:

ИСТОЧНИКИ СВЕТА

- задание цвета и нормали в вершине:
glColor*()
glNormal*()
glEnable(GL_NORMALIZE) (нормализация нормалей после применения преобразований)
- активизация источников света (до 8):
glEnable(GL_LIGHTING)
glEnable(GL_LIGHT0)
- определение позиции источника:
 - если (x,y,z,1) – расположен в заданной точке;
 - если (x,y,z,0) – бесконечно удален в заданном направлении (выигрыш в вычислениях), ослабление света не происходит;**glLightfv(GL_LIGHT0, GL_POSITION, v[])**
- определение параметров света, испускаемого источником:
glLightfv(GL_LIGHT0, GL_AMBIENT(0,0,0,1 – для всех источников) |
GL_DIFFUSE (1,1,1,1 – для GL_LIGHT0; 0,0,0,1 - иначе) |
GL_SPECULAR (1,1,1,1 – для GL_LIGHT0; 0,0,0,1 - иначе),
c[])

Модель освещения OpenGL: источники света (продолжение)

- моделирование сфокусированного источника света
 - определения угла пропускания [по умолчанию – Π]:
glLightf(GL_LIGHT0, GL_SPOT_CUTOFF)
 - параметр сфокусированности: показатель степени $I = I_1 \cdot \cos^{\exp}(\theta)$ [по умолчанию, 0]:
glLightf(GL_LIGHT0, GL_SPOT_EXPONENT)
 - направление излучения источника света [по умолчанию, (0,0,-1)]:
glLightf(GL_LIGHT0, GL_SPOT_DIRECTION)
- учет ослабления света с расстоянием: коэффициент ослабления (attenuation factor):

$$attenuation = \frac{1}{k_c + k_l \cdot D + k_q \cdot D^2}$$

glLightf(GL_LIGHT0, GL_CONSTANT_ATTENUATION, K_c [1])

glLightf(GL_LIGHT0, GL_LINEAR_ATTENUATION, K_l [0])

glLightf(GL_LIGHT0, GL_QUADRATIC_ATTENUATION, K_q [0])

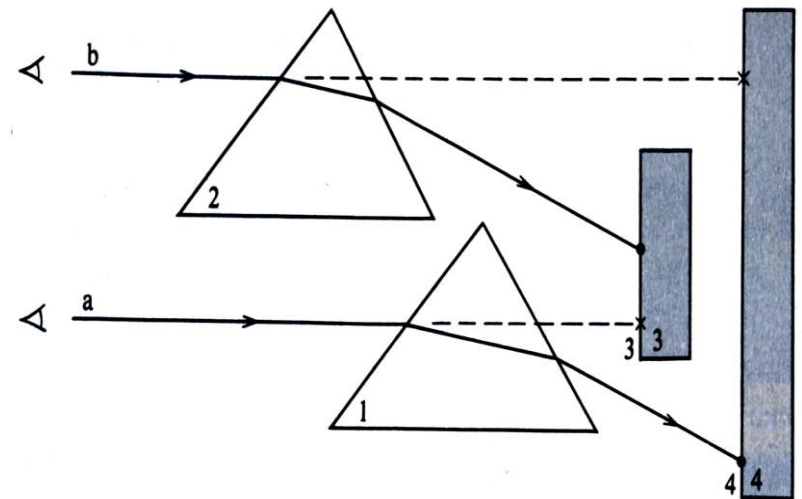
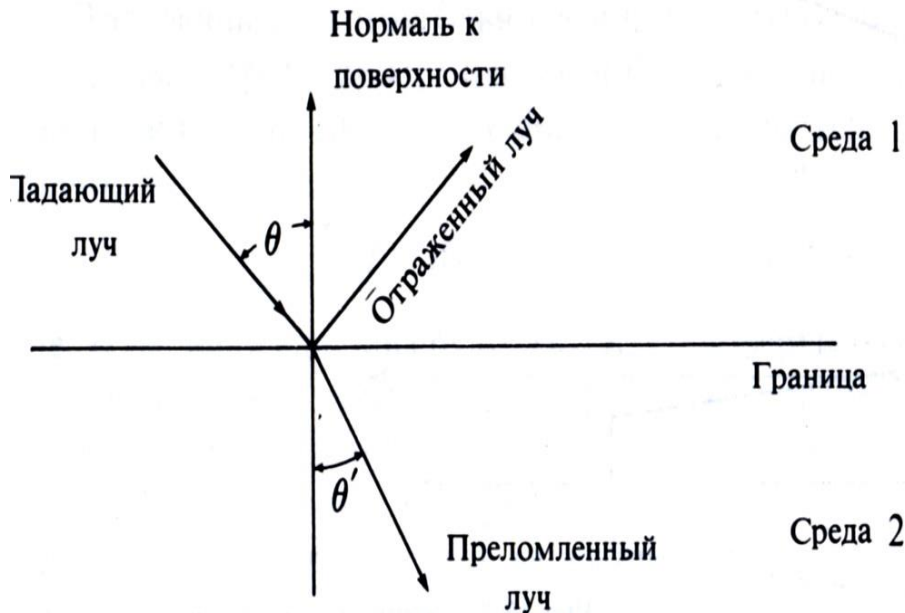
Модель освещения OpenGL: параметры глобальной модели освещения и свойства материалов

- параметры модели освещения:
 - цвет глобального фонового источника (по умолчанию, (0,2; 0,2; 0,2; 1)):
glLightModelfv(GL_LIGHT_MODEL_AMBIENT, c[])
 - локальная или удаленная точка наблюдения: по умолчанию, v = (0,0,1), и вычисляется промежуточный вектор:
glLightModel(GL_LIGHT_MODEL_LOCAL_VIEWER, GL_FALSE)
 - обработка граней (двусторонняя):
glLightModel(GL_LIGHT_MODEL_TWO_SIDE, GL_TRUE)
- определение свойств материалов (эмиссионный свет: собственное свечение граней):
glMaterialfv(GL_FRONT | GL_BACK | GL_FRONT_AND_BACK, GL_AMBIENT | GL_DIFFUSE | GL_AMBIENT_AND_DIFFUSE | GL_SPECULAR | GL_EMISSION | GL_SHININESS, c[])
- общий вид модели освещения с учетом всех параметров:

$$I_r = e_r + I_{mr}\rho_{ar} + \sum_i \text{atten}_i \times \text{spot}_i \times (I_{ar}^i \rho_{ar} + I_{dr}^i \rho_{dr} \times \text{lambert}_i + I_{spr}^i \rho_{sr} \times \text{phong}_i^f).$$

Прозрачность и преломление

- преломление рассчитывается по закону Снеллиуса:
 - падающий, преломленный и отраженный лучи лежат в одной плоскости, а углы падения и преломления связаны формулой (η_1, η_2 - показатели преломления двух сред, θ - угол падения, θ' - угол преломления):
$$\eta_1 \sin \theta = \eta_2 \sin \theta'$$
 - пропускание (как и отражение) может быть:
 - зеркальным (направленным);
 - диффузным.



Вычисление преломлённого луча

$$\vec{v}_i = -(\sin \theta_i)\vec{s} - (\cos \theta_i)\vec{n}$$

$$\vec{v}_r = -(\sin \theta_r)\vec{s} - (\cos \theta_r)\vec{n}$$

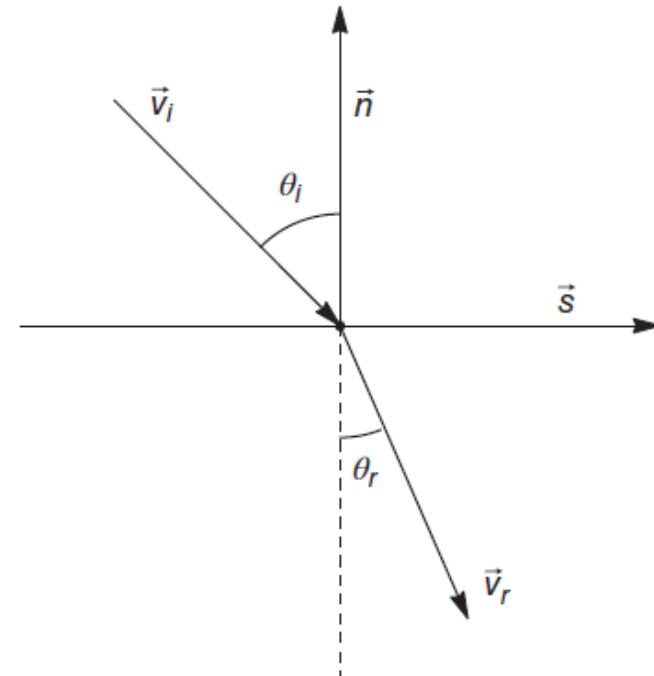
$$\sin \theta_r = \frac{\eta_i}{\eta_r} \sin \theta_i$$

$$\cos^2 \theta_r = 1 - \frac{\eta_i^2}{\eta_r^2} (1 - \cos^2 \theta_i)$$

$$-\cos \theta_i = \vec{v}_i \cdot \vec{n}$$

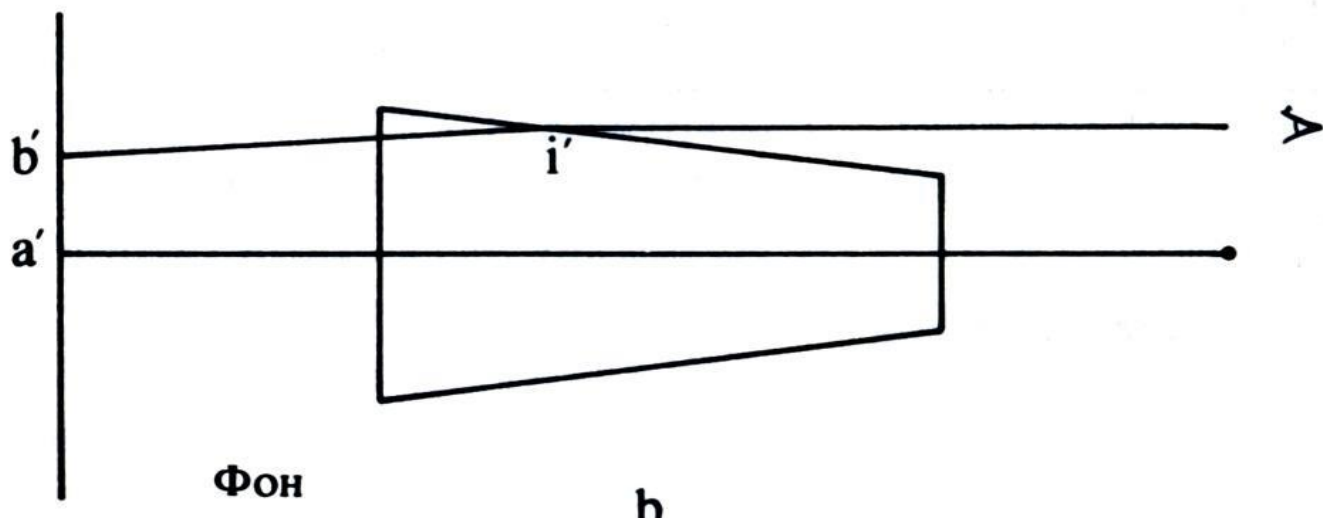
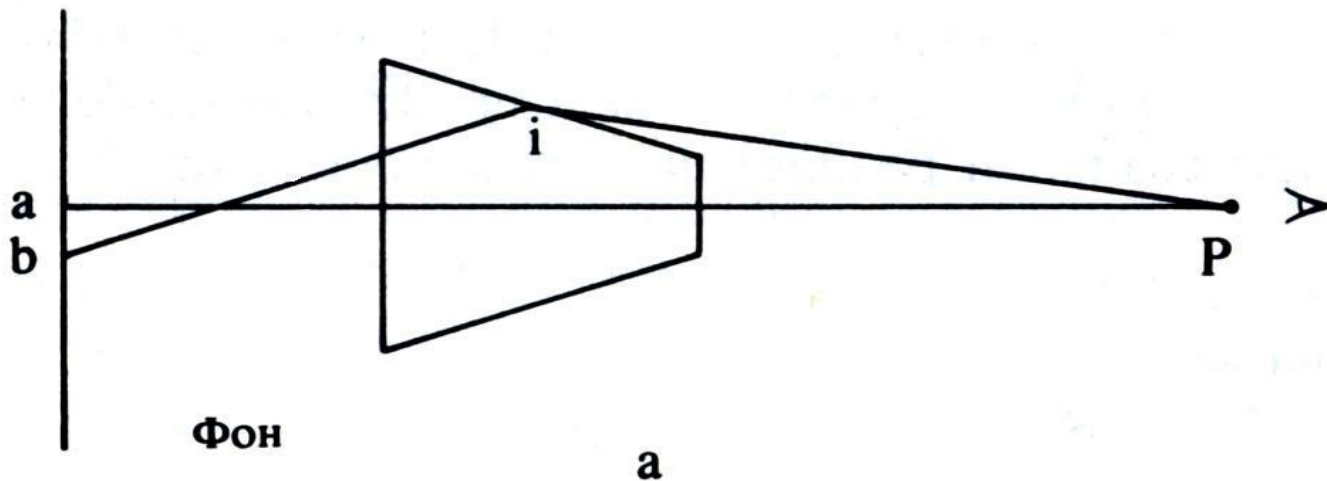
$$-(\sin \theta_i)\vec{s} = \vec{v}_i - (\vec{v}_i \cdot \vec{n})\vec{n}$$

$$\vec{v}_r = \frac{\eta_i}{\eta_r} (\vec{v}_i - (\vec{v}_i \cdot \vec{n}) \vec{n}) - \left(1 - \frac{\eta_i^2}{\eta_r^2} (1 - (\vec{v}_i \cdot \vec{n})^2) \right)^{\frac{1}{2}} \vec{n}$$



* предполагается, что все векторы – единичной длины

Эффекты преломления и влияние перспективы



Альфа-канал

- альфа-канал (alpha channel, Alvy Ray Smith) определяет прозрачность пиксела;
- простое пропускание можно встроить в любой алгоритм удаления невидимых поверхностей (кроме алгоритма Z-буфера);
- смешивание интенсивностей для двух ближайших граней производится по следующей формуле (если рассматриваются более двух граней, формула применяется рекуррентно):

$$I = I_1\alpha + I_2(1-\alpha), \alpha \in [0;1], \text{ где}$$

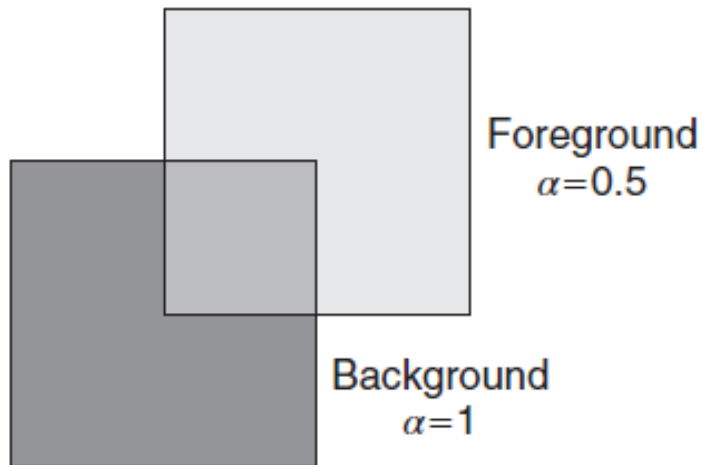
I_1 – интенсивность ближней грани,

I_2 – интенсивность граней, расположенных за ближней гранью,

α – коэффициент прозрачности ближней грани;

- ограничения:
 - расчет производится до перспективного преобразования;
 - корректность зависит от порядка занесения граней в буфер.

Комбинирование цветов с учётом прозрачности



$$B = (r_B, g_B, b_B)$$

$$F = (r_f, g_f, b_f)$$

$$P = \alpha F + (1 - \alpha)B$$

$$P = F \triangleright B$$

- over operator

$$P = (F_2 \triangleright F_1) \triangleright B$$

$$P = (F_2 \triangleright F_1) \triangleright B = F_2 \triangleright (F_1 \triangleright B)$$

$$(1 - \alpha^*) = 1 - \alpha_2 - \alpha_1 + \alpha_2 \alpha_1$$

$$\alpha^* (F_2 \triangleright F_1) = \alpha_2 F_2 + (1 - \alpha_2) \alpha_1 F_1$$

$$\alpha^* = \alpha_2 + (1 - \alpha_2) \alpha_1$$

$$F_2 \triangleright F_1 = \frac{\alpha_2}{\alpha^*} F_2 + \left(1 - \frac{\alpha_2}{\alpha^*}\right) F_1$$

premultiplied alpha form $(\alpha r, \alpha g, \alpha b, \alpha)$

$$\overline{F}_2 \triangleright \overline{F}_1 = \overline{F}_2 + (1 - \alpha_2) \overline{F}_1$$

Прозрачность и OpenGL

- во время цветового наложения цветовые величины входящего фрагмента (*источника, source*) комбинируются с цветовыми величинами соответствующего, сохраненного к текущему моменту, пикселя (*приемника, destination*) в два этапа:
 - задание способа вычисления факторов источника и приемника (факторы представляют собой четверки RGBA, которые умножаются на R, G, B и A величины источника и приемника соответственно): (S_r, S_g, S_b, S_a) и (D_r, D_g, D_b, D_a) ;
 - задание способа комбинирования компонентов двух наборов RGBA;
- результирующие цветовые величины после цветового наложения могут быть получены из следующего уравнения:

$$(R_s S_r + R_d D_r, G_s S_g + G_d D_g, B_s S_b + B_d D_b, A_s S_a + A_d D_a)$$

- каждый компонент этой четверки приводится к диапазону $[0, 1]$.

Прозрачность и OpenGL: функции

- активизация режима смешивания цветов

glEnable(GL_BLEND);

- определение факторов источника и приемника источника:

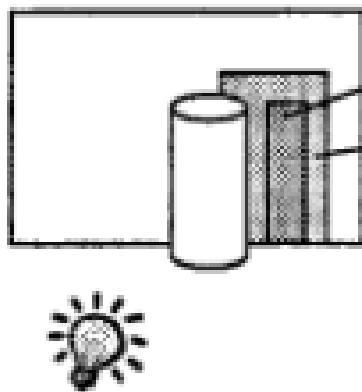
```
glBlendFunc (GLenum sfactor = GL_ZERO | GL_ONE |  
GL_ONE_MINUS_DST_COLOR | GL_DST_COLOR |  
GL_SRC_ALPHA | GL_ONE_MINUS_SRC_ALPHA |  
GL_DST_ALPHA | GL_ONE_MINUS_DST_ALPHA |  
GL_SRC_ALPHA_SATURATE,  
               GLenum dfactor = GL_ZERO | GL_ONE |  
GL_SRC_COLOR | GL_ONE_MINUS_SRC_COLOR |  
GL_SRC_ALPHA | GL_ONE_MINUS_SRC_ALPHA |  
GL_DST_ALPHA | GL_ONE_MINUS_DST_ALPHA);
```

- стандартный альфа-канал:

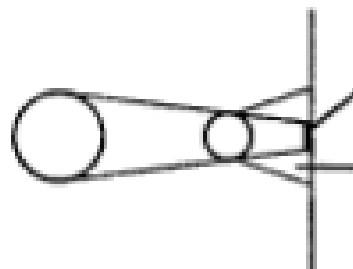
glBlendFunc(GL_SRC_ALPHA, GL_ONE_MINUS_SRC_ALPHA)

Построение теней

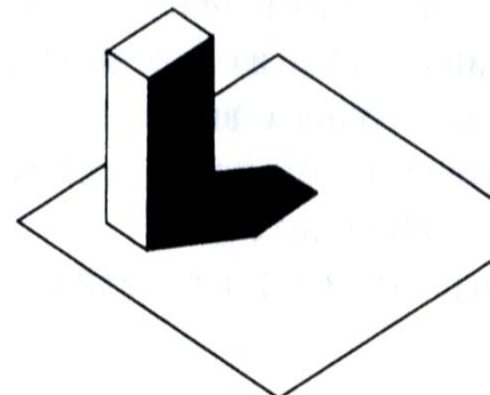
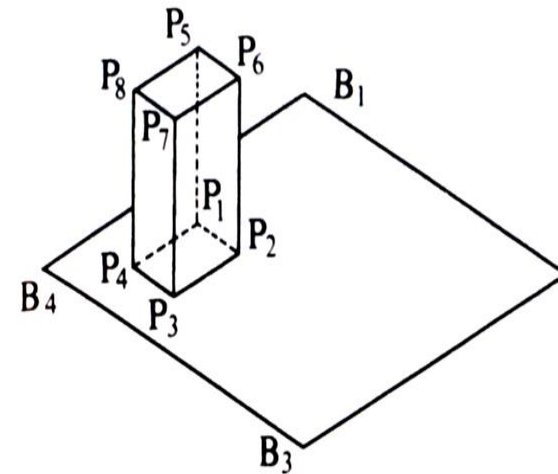
- тени могут возникнуть, когда положение наблюдателя не совпадает с положением источника света;
- тень состоит из двух частей (зависит от расстояния между затененной и отбрасывающей тень гранями):
 - полной тени (центральной, темной, резко очерченной части - umbra);
 - полутени (границы между тенью и освещенной области – penumbra) – размытие границ (soft shadow);
- обычно рассматриваются точечные источники, создающие полную тень.



Полная тень
Полутень

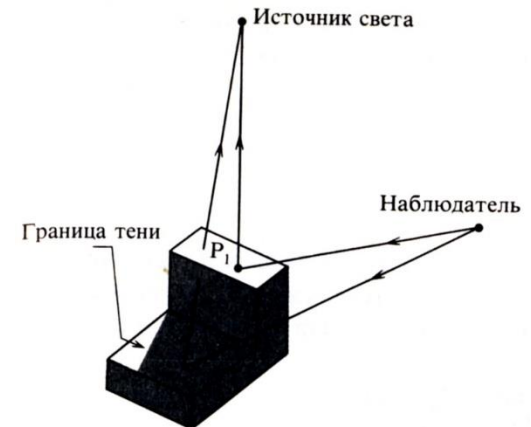
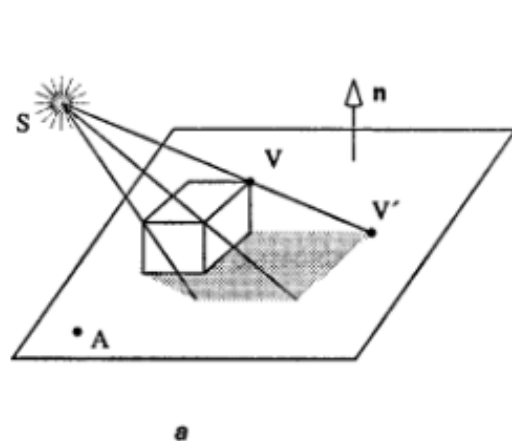


Полная тень
Полутень



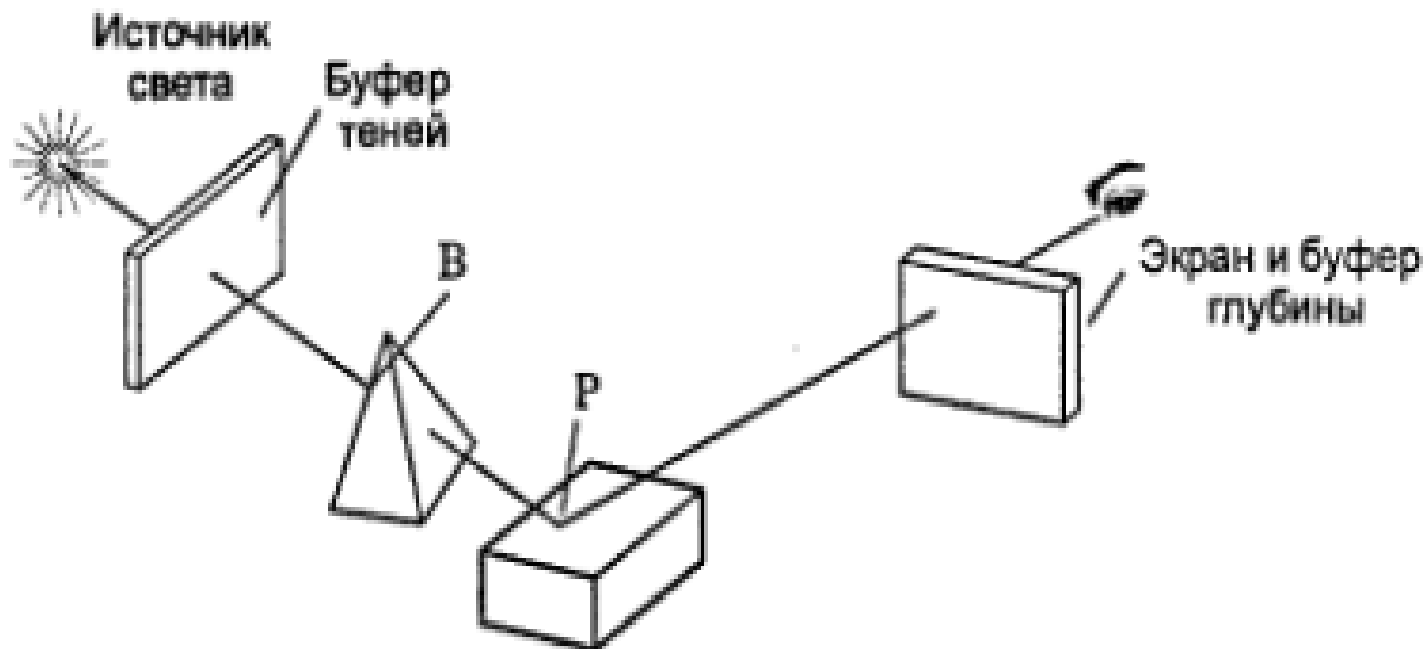
Построение теней: процедура

- могут рассматриваться два типа теней:
 - *собственные* (случай затенения гранями объекта самих себя);
 - *проекционные* (случай препятствования падения света на другие грани) – необходимо построение проекций всех нелицевых граней на сцену;
- вычислительная сложность зависит, в том числе, от положения источника света:
 - для источника в бесконечности необходимо построение ортогональных проекций;
 - для источника, расположенного на конечном расстоянии от сцены вне поля зрения – перспективное проецирование;
 - для источника, расположенного на конечном расстоянии от сцены в поле зрения – перспективное проецирование и разбиение пространства на секторы;
- двухэтапный процесс:
 - удаление невидимых поверхностей для положения каждого источника (результат не зависит от положения наблюдателя);
 - удаление невидимых поверхностей для положения наблюдателя.

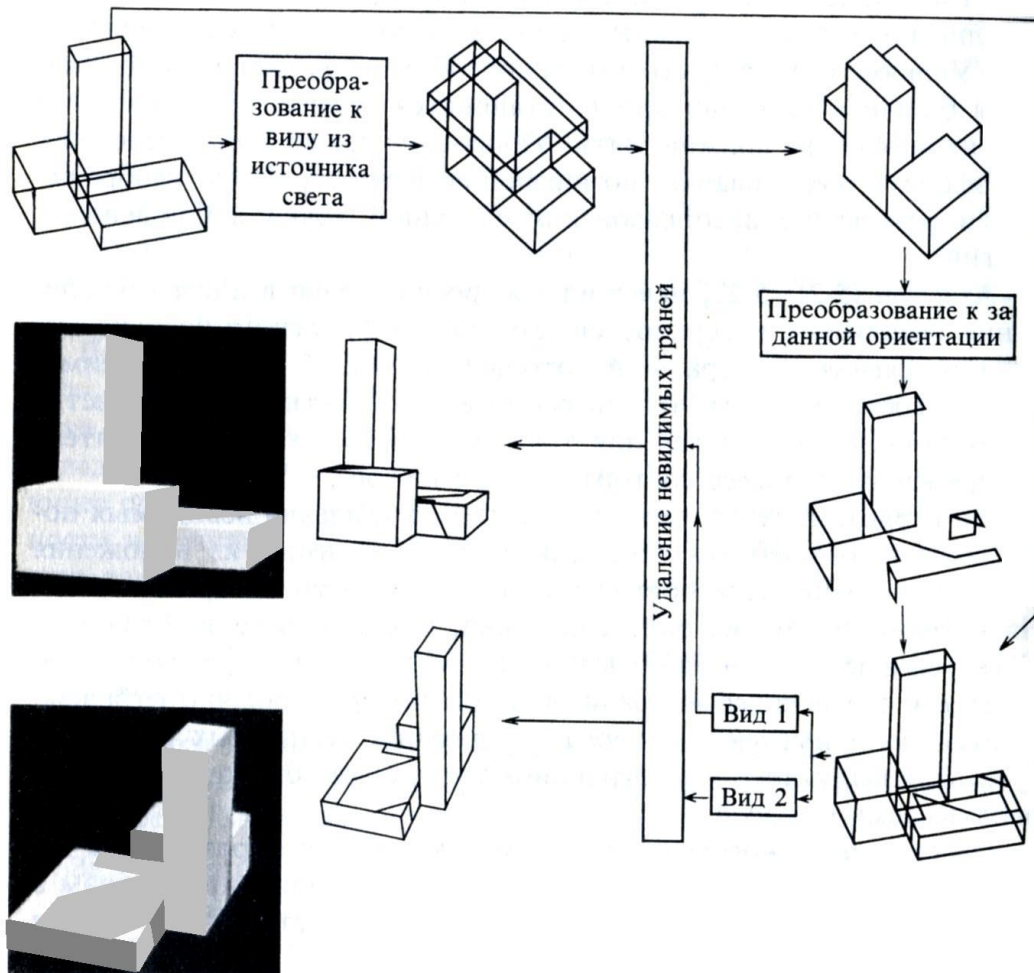


Использование алгоритма z-буфера для построения теней

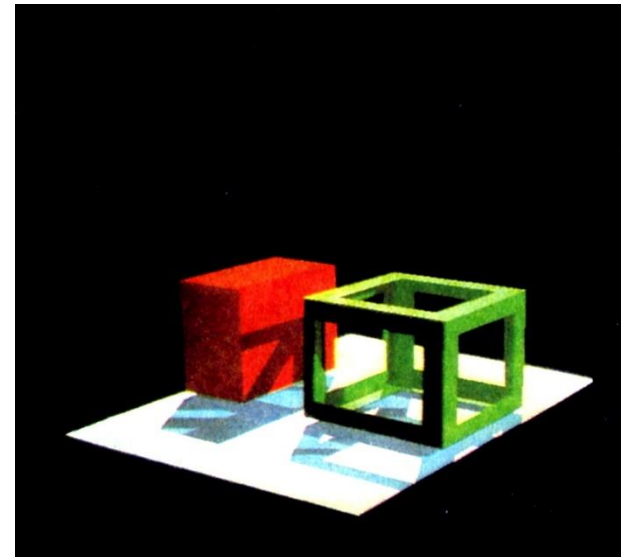
- построение теневых z-буферов (*shadow maps*) из положения источников света:
 - интенсивность не рассматривается;
 - результаты не зависят от положения наблюдателя;
- построение z-буфера из точки наблюдения.



Использование алгоритма удаления невидимых граней Вейлера-Азертона для построения теней

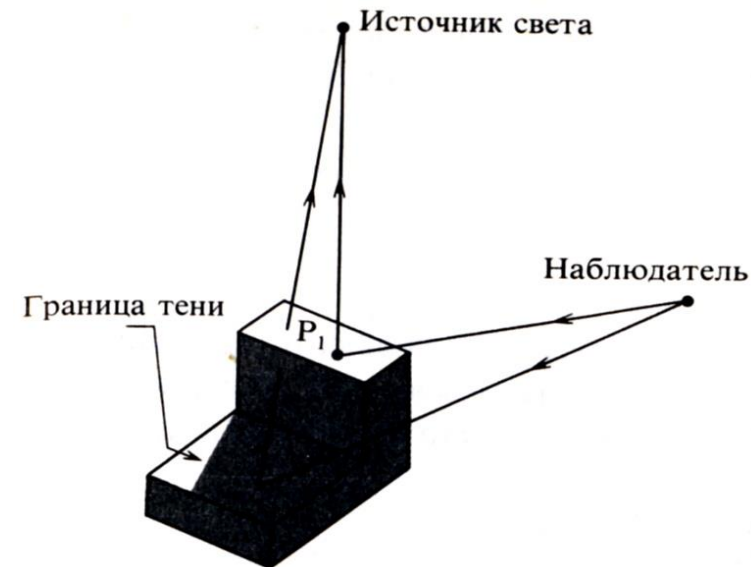
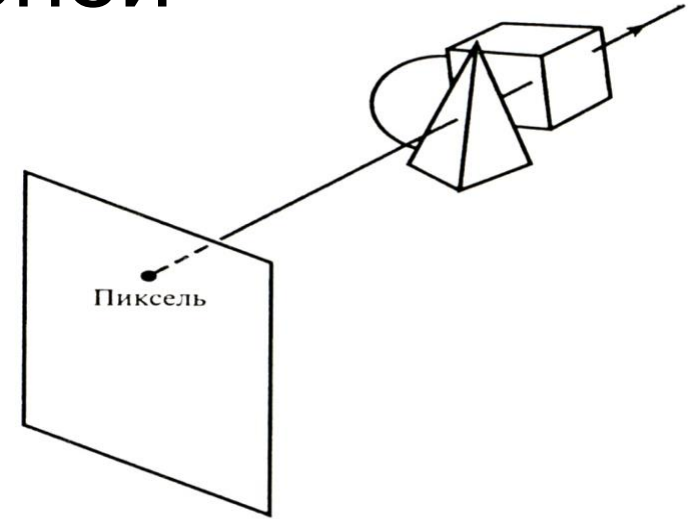


- построение наборов видимых граней для положения каждого из источников света;
- построение набора видимых граней для точки наблюдения.



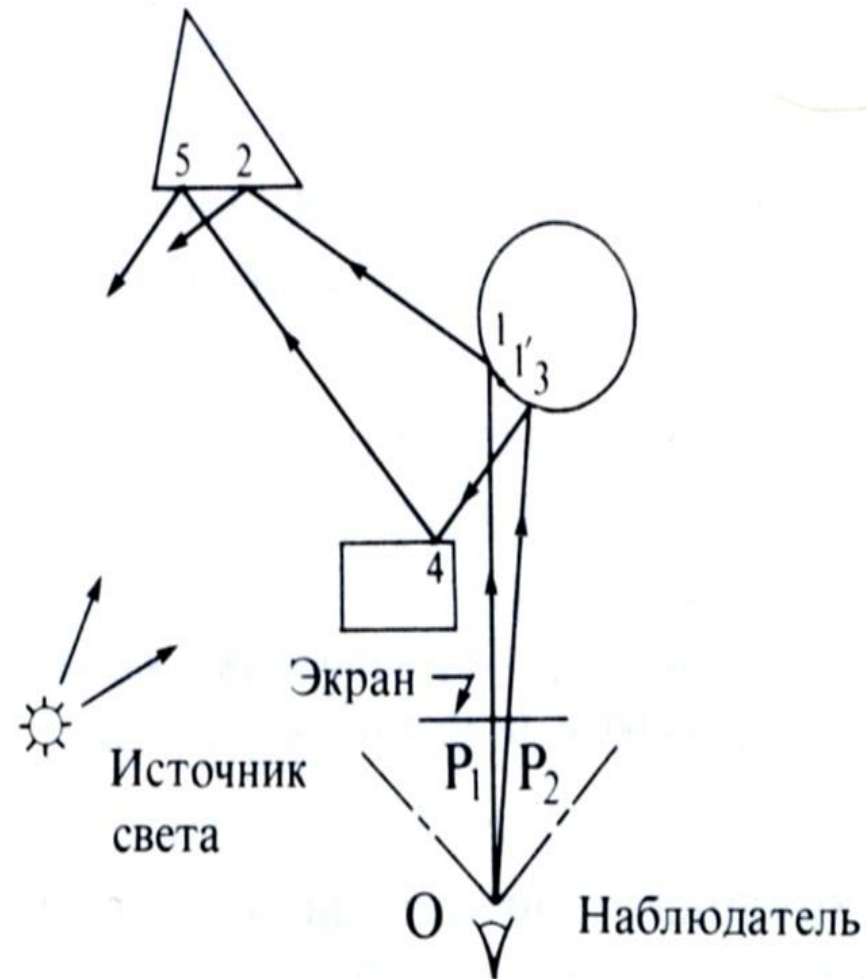
Алгоритм трассировки лучей и построение теней

- двухшаговый алгоритм построения изображения:
 - обратная трассировка луча (построение луча из точки наблюдения через каждую точку экрана);
 - для каждой видимой точки поверхности – построение лучей к источникам света (теневых зондов);
- ОПТИМИЗАЦИЯ ВЫЧИСЛЕНИЙ:
 - использование прямоугольных / сферических / иерархических оболочек;
 - отложенное вычисление пересечений (после определения множества объектов и предварительной сортировки).



Глобальная модель освещения

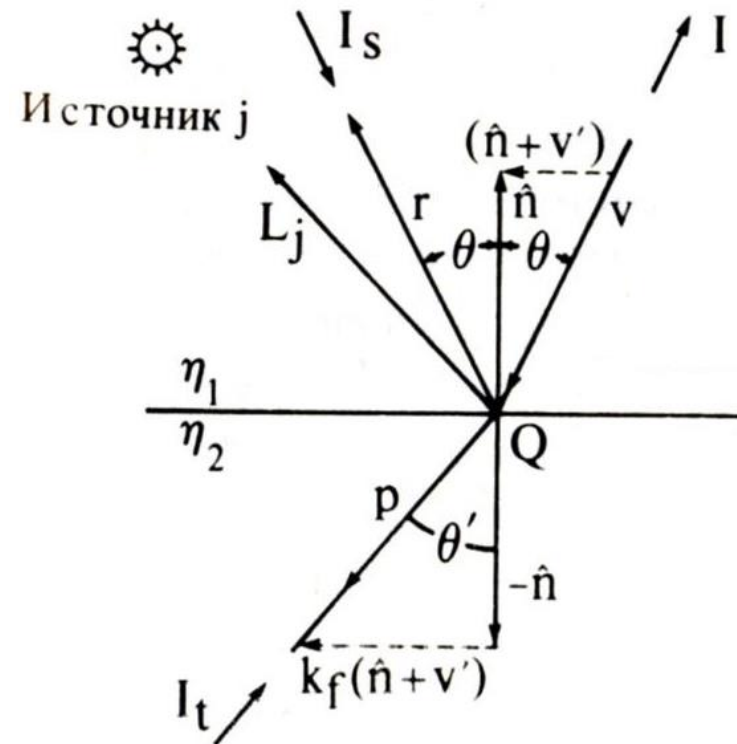
- модели освещения:
 - *локальная модель освещения:*
учитывается только свет, падающий от источника (-ов), и ориентация поверхности;
 - *глобальная модель освещения:*
дополнительно учитывается свет, отраженный от других объектов сцены или пропущенный сквозь них.



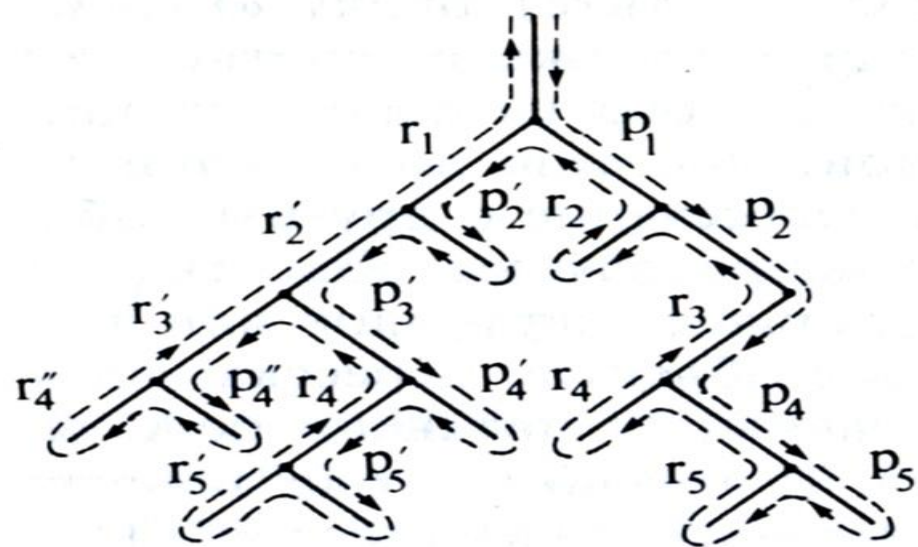
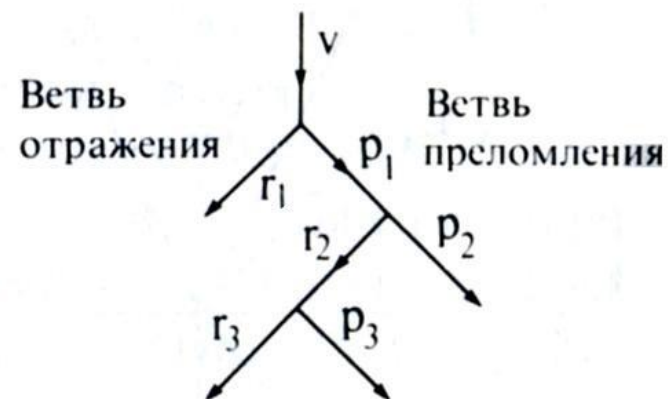
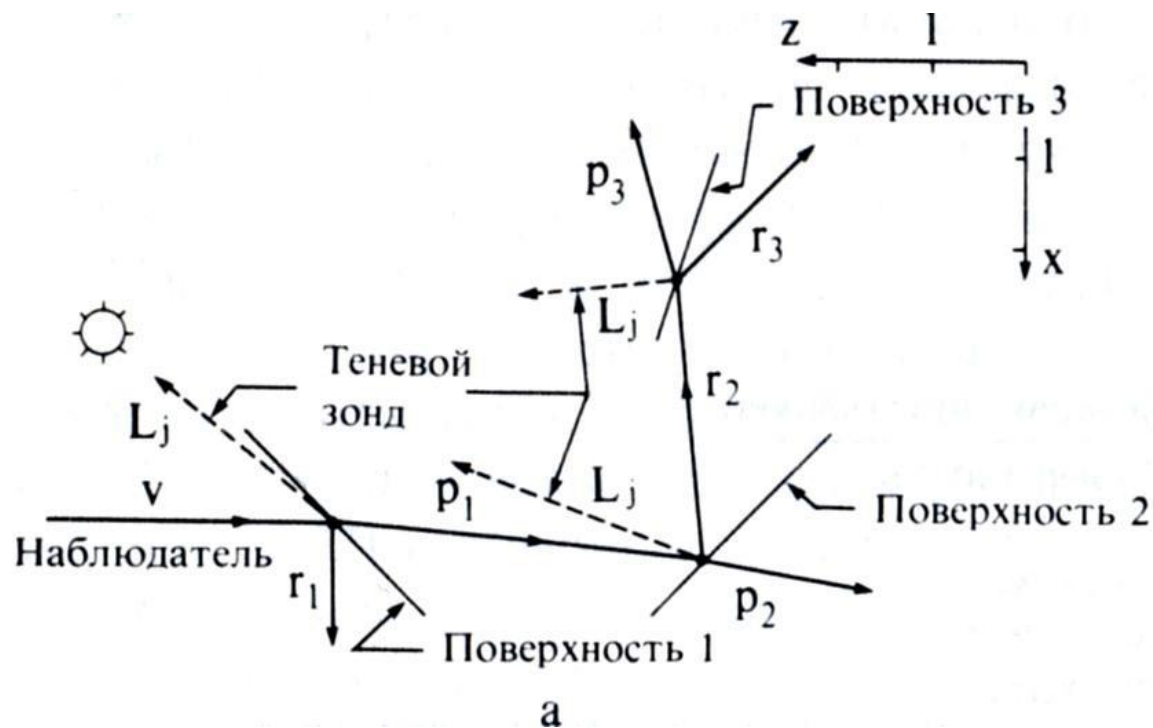
Глобальная модель освещения с трассировкой лучей (Whitted)

$$I = k_a I_a + k_d \sum_j I_{lj} (\hat{\mathbf{n}} \cdot \hat{\mathbf{L}}_j) + k_s \sum_j I_{lj} (\hat{\mathbf{S}} \cdot \hat{\mathbf{R}}_j)^n + k_s I_s + k_t I_t$$

- при построении изображения учитываются:
 - локальная модель освещения (включая построение теневых зондов для учета теней);
 - интенсивность, поступающая в направлении зеркального отражения;
 - интенсивность, поступающая в направлении зеркального пропускания;
- процедура трассировки лучей является рекурсивной, которая прерывается в одном из следующих случаев:
 - луч покидает сцену;
 - интенсивность вдоль отраженного и преломленного лучей незначительна (учитывается только локальная модель освещения и расстояния);
 - превышена глубина рекурсии.



Глобальная модель освещения с трассировкой лучей: пример

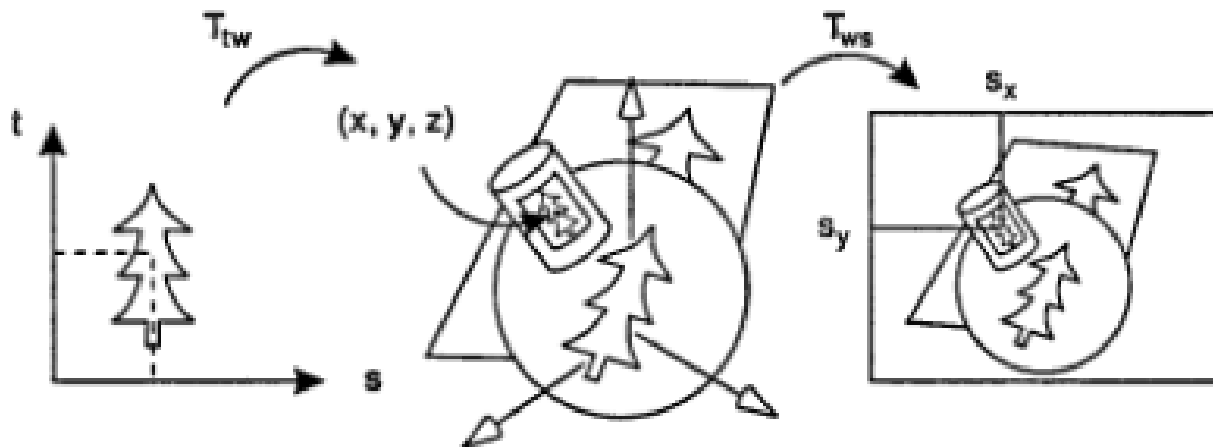


Фактуры и текстуры

- два вида детализации поверхности:
 - нанесение заданного узора на гладкую поверхность (текстурирование);
 - создание (визуальных) неровностей на поверхности путем внесения возмущения в параметры, задающие поверхность – bump mapping (Blinn);
- фактуры и текстуры могут быть заданы:
 - программно (с помощью процедуры генерации) – procedural texture;
 - растровым шаблоном или изображением (texels, texture elements);
- при наложении текстуры могут использоваться различные способы проецирования текстуры на поверхность (сферическая, цилиндрическая, плоская проекции);
- при наложении необходимо также предусмотреть операции устранения лестничного эффекта.

Текстуры

- наложение текстуры выполняется с помощью функции отображения текстурного и объектного координатных пространств:
 - задается текстурная функция (texture map) $texture(s, t)$ в так называемом *текстурном пространстве* (texture space), которая генерирует значения цвета или яркости для каждого значения $s, t \in [0, 1]$;
 - производится отображение на требуемую поверхность, заданную в объектном пространстве $(s, t) \rightarrow (x, y, z)$;
 - производится стандартное преобразование для вывода на экран;
- на практике может решаться обратная задача: определение текстурных координат, соответствующих заданному значению экранных;
- значения текстурной функции могут использоваться:
 - для задания интенсивности грани;
 - для определения коэффициентов отражения.



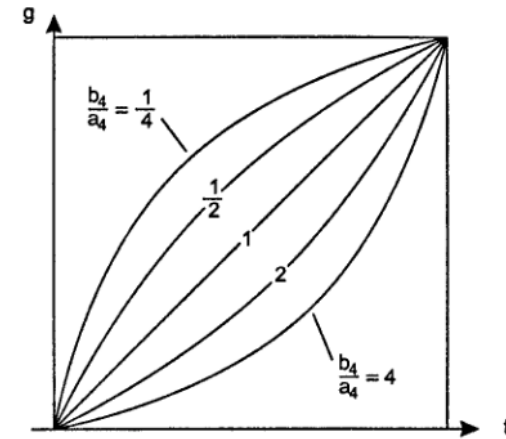
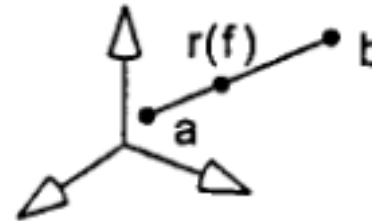
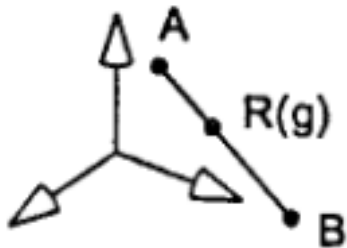
Текстуры и интерполяция

- при растровой развертке линейная интерполяция текстурных координат с равномерным шагом, в общем случае, приводит к некорректным результатам (равные шаги по спроецированной грани не соответствуют равным шагам по трехмерной грани);
- гиперболическая интерполяция – учет перспективного преобразования при отображении текстурных координат в объектное пространство (обеспечивается конвейером).



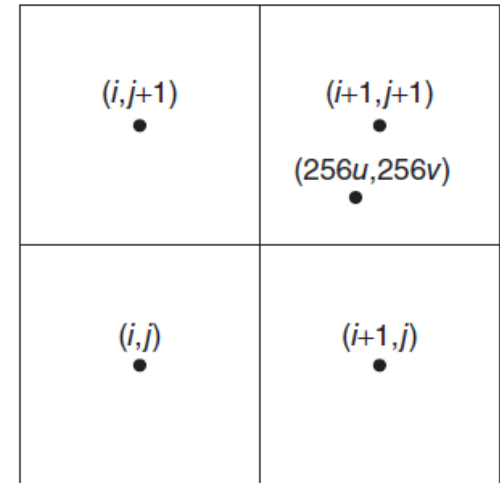
$$\frac{1}{z} = (1 - \alpha) \frac{1}{z_1} + \alpha \frac{1}{z_2}$$

$$\frac{u}{z} = (1 - \alpha) \frac{u_1}{z_1} + \alpha \frac{u_2}{z_2}$$



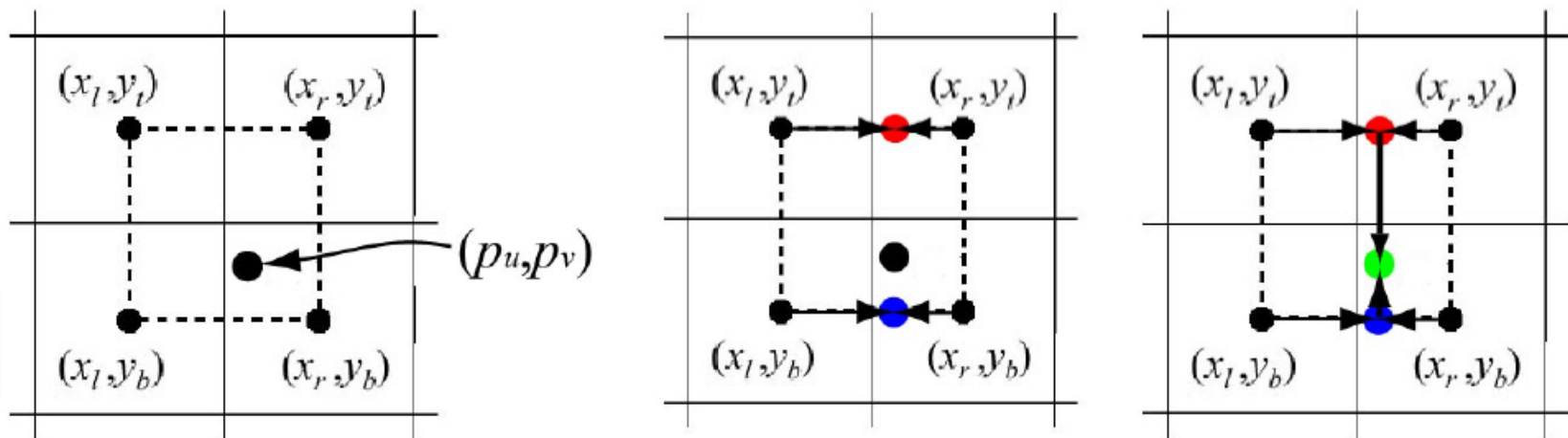
Текстурная фильтрация (texture filtering)

- в зависимости от относительного размера текселей и пикселей, необходимы операции масштабирования текстуры (texture magnification / minification – увеличение(растяжение) / сжатие);
- фильтрация в обоих случаях масштабирования позволяет вычислить корректное усреднённое значение цвета текселя:
 - при увеличении (тексель больше пикселя) имеет смысл учитывать один или четыре ближайших пикселя;
 - при уменьшении (тексель меньше пикселя) необходимы специальные процедуры усреднения, т.к. один пиксель может покрывать множество текселей.



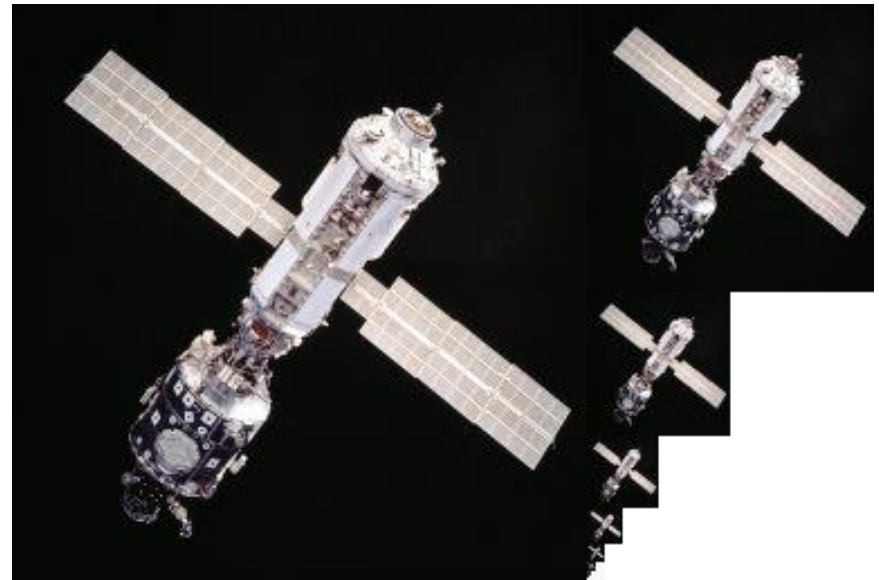
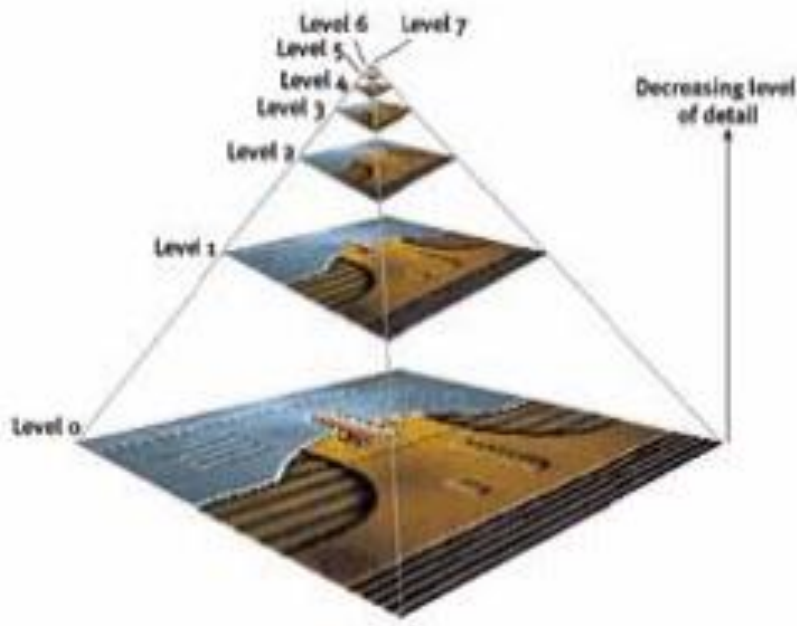
Увеличение текстур (texture magnification)

- методы:
 - ближайший сосед (nearest neighbour filtering);
 - билинейная интерполяция (bilinear filtering) – взвешенное усреднение;
 - бикубическая интерполяция (bicubic filtering);
 - ...
- выбор метода влияет на:
 - производительность;
 - появление эффектов (ступенчатость, размытость границ и т.п.).



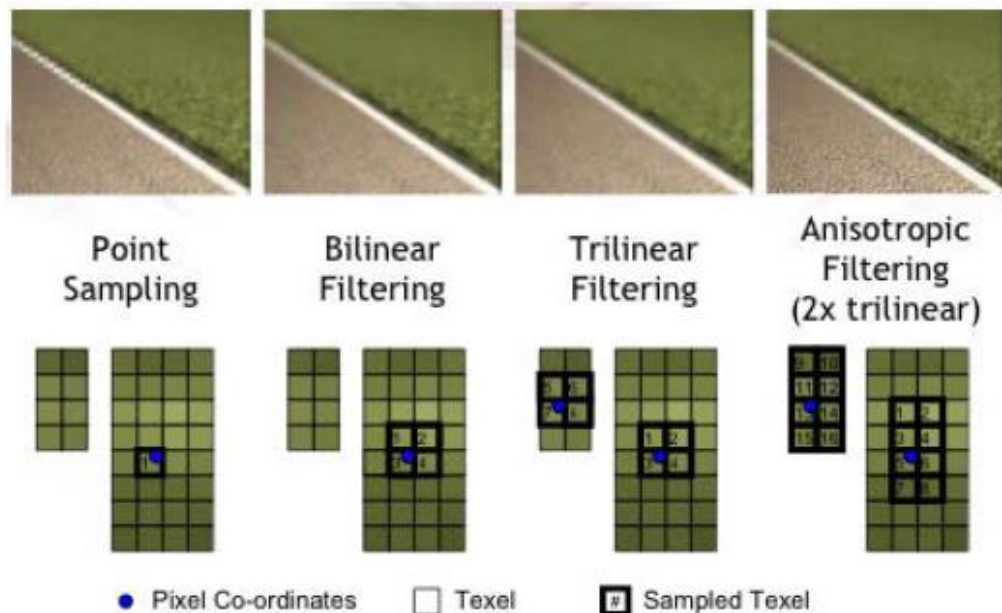
Уровни детализации текстуры (mipmaps)

- mip = lat. “multum in parvo” (много в малом), Lance Williams, 1983;
- последовательность уменьшенных вдвое по каждому измерению изображений (пирамида текстур / изображений, texture / image pyramid);
- построение путём усреднения изображения предыдущего уровня (ближайший сосед, билинейная фильтрация, свёртка (фильтр Гаусса) и т.п.).



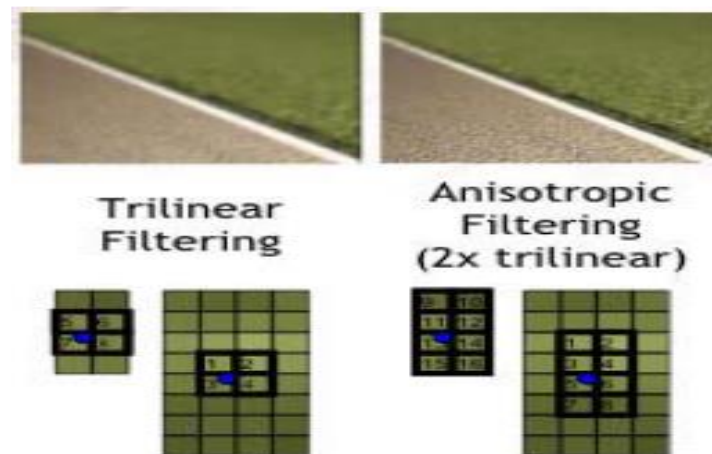
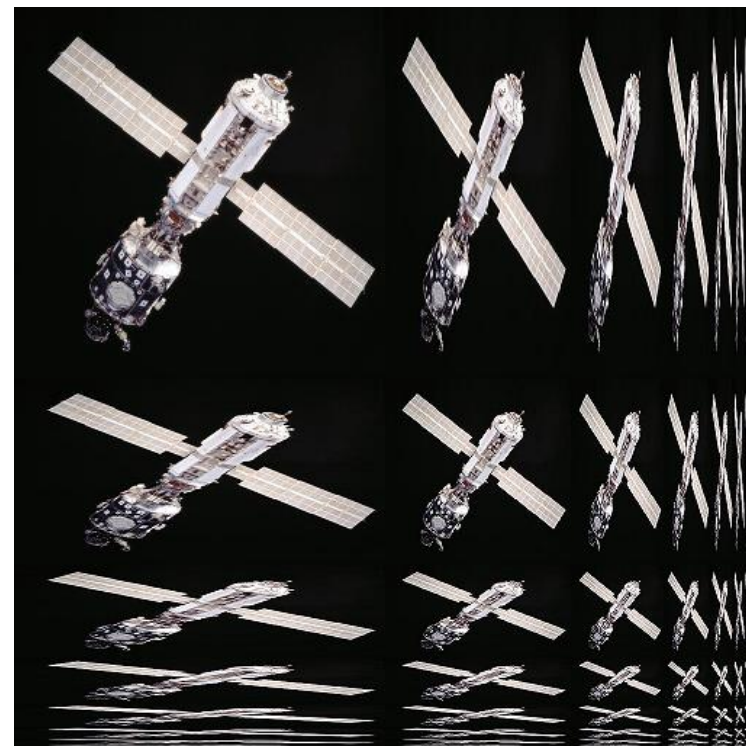
Сжатие текстур (texture minification)

- ближайший сосед (nearest neighbour filtering);
- билинейная фильтрация (bilinear filtering);
- выбор ближайшего подходящего mipmap'a и поиск ближайшего соседа / билинейная фильтрация;
- выбор двух ближайших подходящих mipmap'ов и линейная интерполяция найденных в каждом из них ближайших соседей;
- трилинейная фильтрация (trilinear filtering) - выбор двух ближайших подходящих mipmap'ов и линейная интерполяция найденных в каждом из них с помощью билинейной фильтрации значений;
- анизотропная фильтрация (anisotropic filtering) – неоднородная фильтрация по различным направлениям.

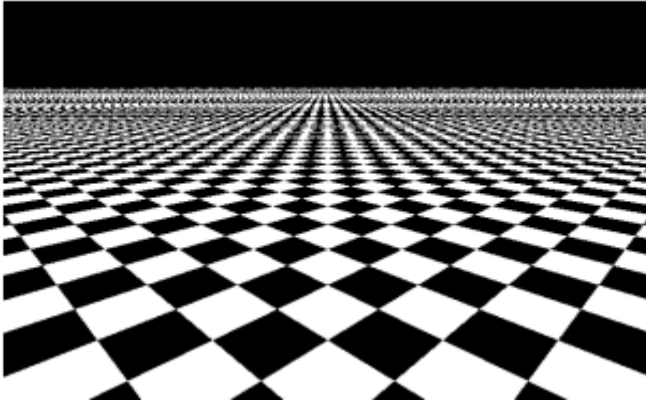


Анизотропная фильтрация

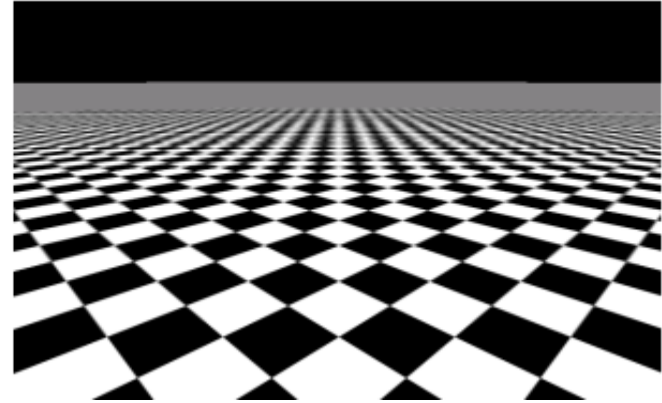
- анизотропная фильтрация (anisotropic filtering) – неоднородная фильтрация по различным направлениям
 - расширение идеи mipmap'ов → ripmap;
 - summed area table.



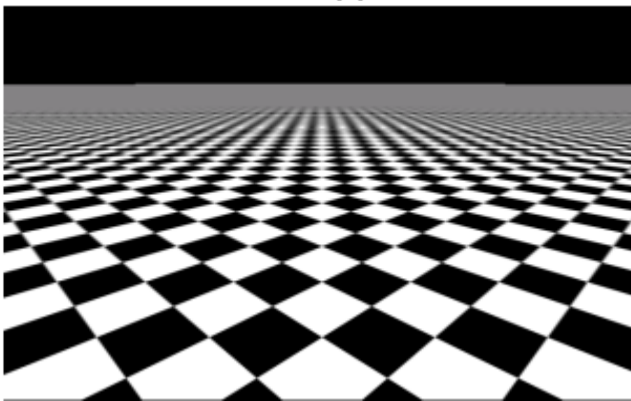
Сравнение фильтров при текстурировании



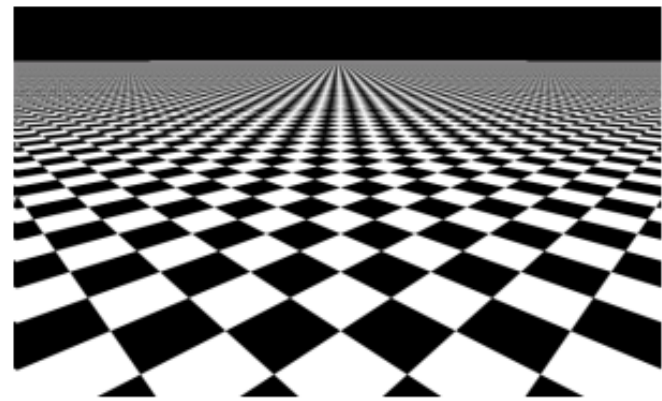
Ближайший сосед



Билинейная



Трилинейная



Анизотропная

Текстуры и OpenGL

- загрузка текстуры в память:
 - процедурная генерация;
 - загрузка из файла формата *.bmp;
 - загрузка из файлов других графических форматов (с использованием сторонних библиотек);
- текстуры должны иметь размеры, кратные степеням двойки
 - можно использовать функцию **gluScaleImage(...)**;
- генерация текстур меньших уровней детализации (mipmaps)
gluBuild2DMipmaps(...)
- создание идентификатора и привязка (выбор в качестве текущей) текстуры:
glGenTextures(...)
glBindTexture(...)
- инициализация режима наложения поверхностных текстур:
glTexImage2D(GLenum target, GLint level, GLint internalformat, GLsizei width, GLsizei height, GLint border, GLenum format, GLenum type, const GLvoid *pixels)
glEnable(GL_TEXTURE_2D)

Текстуры и OpenGL (2)

- определение соответствия текстурных координат для каждой вершины объекта:

glTexCoord2*(s, t)

glTexGen(...)

- определение параметров текстуры, в частности:

- определение режима интерпретации значений текстурных координат вне интервала [0;1] (по умолчанию – оборачивание: GL_REPEAT):

glTexParameter*(GL_TEXTURE_2D, GL_TEXTURE_WRAP_S | GL_TEXTURE_WRAP_T, GL_REPEAT | GL_CLAMP)

- определение режима интерполяции (по умолчанию – GL_LINEAR)

glTexParameter*(GL_TEXTURE_2D, GL_TEXTURE_MIN_FILTER | GL_TEXTURE_MAG_FILTER, GL_NEAREST | GL_LINEAR | GL_NEAREST_MIPMAP_NEAREST | ...)

- определение режима использования текстурных значений:

- в качестве функции интенсивности $I = \text{texture}(s,t)$

glTexEnv*(GL_TEXTURE_ENV, GL_TEXTURE_ENV_MODE, GL_REPLACE [GL_DECAL])

- в качестве функции коэффициента диффузного отражения - «модулирование коэффициента отражения»:

glTexEnv*(GL_TEXTURE_ENV, GL_TEXTURE_ENV_MODE, GL_MODULATE)

Фактура: метод возмущения нормали

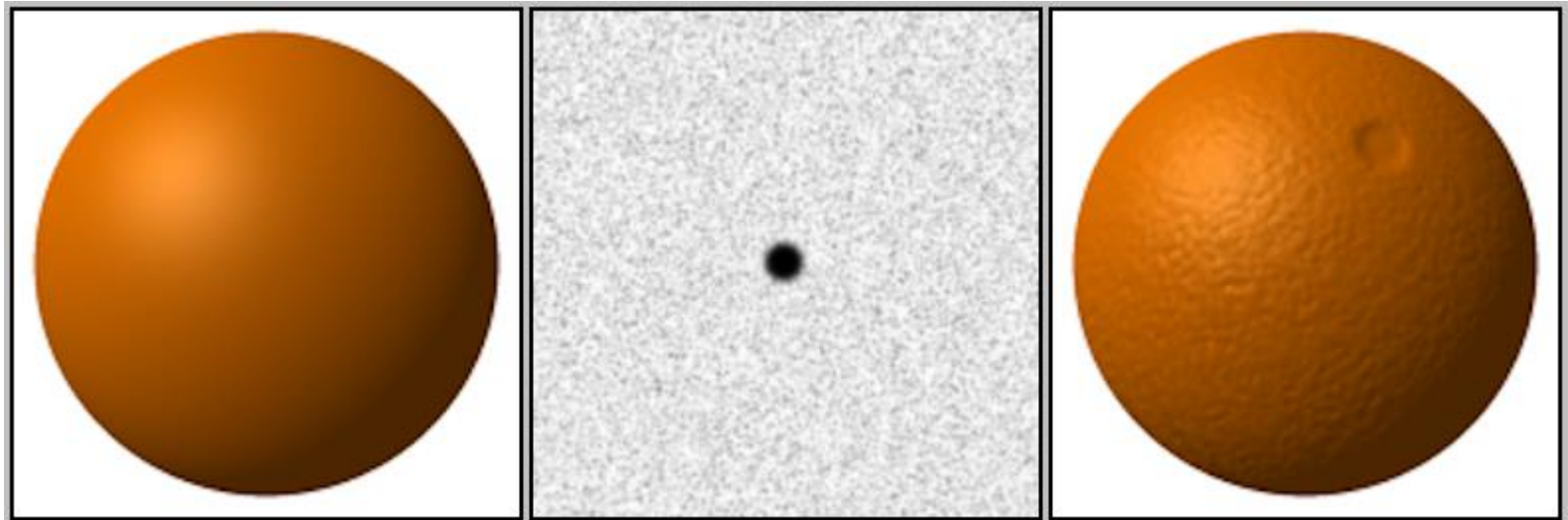
- bump mapping (J. Blinn, 1978)
- displacement map (карта смещений)

$$P^*(s, t) = P(s, t) + d(s, t)\vec{n}(s, t)$$

$$\frac{\partial P^*}{\partial s} = \frac{\partial P}{\partial s} + \frac{\partial d}{\partial s}\vec{n} + d\frac{\partial \vec{n}}{\partial s}$$

$$\frac{\partial P^*}{\partial t} = \frac{\partial P}{\partial t} + \frac{\partial d}{\partial t}\vec{n} + d\frac{\partial \vec{n}}{\partial t}$$

$$\vec{n}_{new} \approx \left(\frac{\partial P}{\partial s} + \frac{\partial d}{\partial s}\vec{n} \right) \times \left(\frac{\partial P}{\partial t} + \frac{\partial d}{\partial t}\vec{n} \right)$$



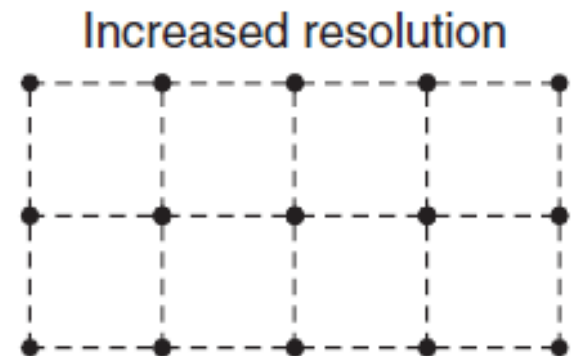
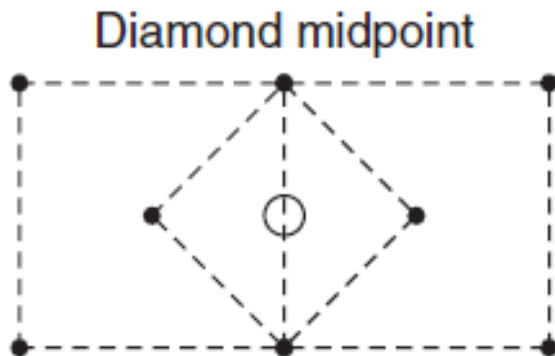
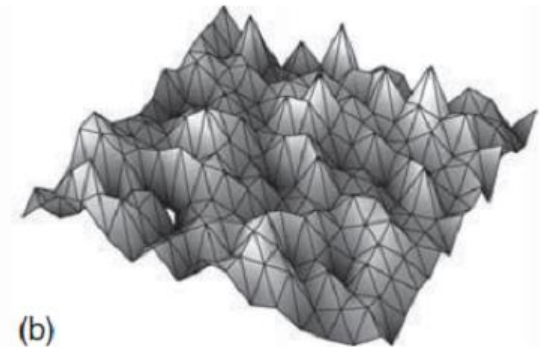
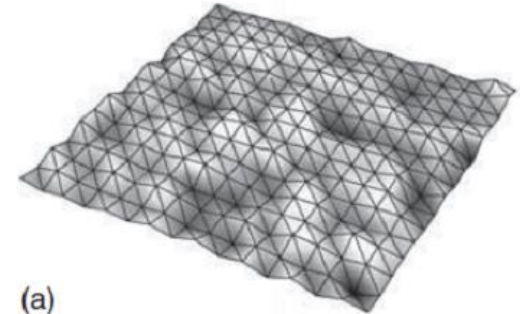
Модулирование параметров модели

$$I = I_a k_a + I_l k_d \cos \theta + I_l k_s \cos^n \alpha$$

- отражение от поверхности – surface color texture;
- вектор нормали N – bump mapping;
- коэффициенты k_d , k_s , k_a , α – specularity mapping;
- падающий свет I_l – environment mapping;
- геометрия – displacement mapping
- прозрачность – transparency mapping;
- ...

Генерация рельефа

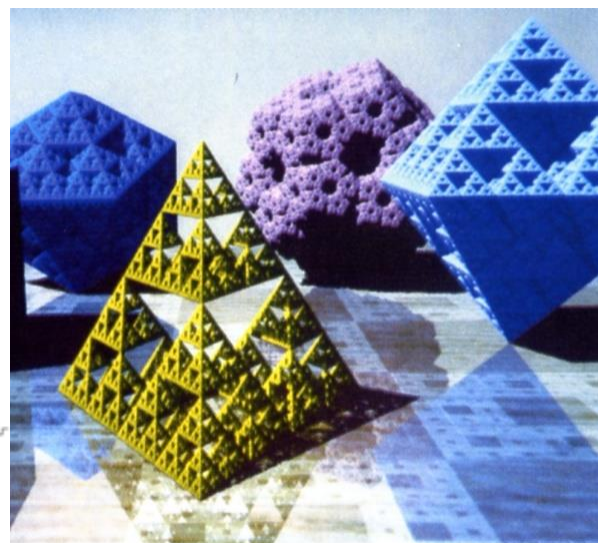
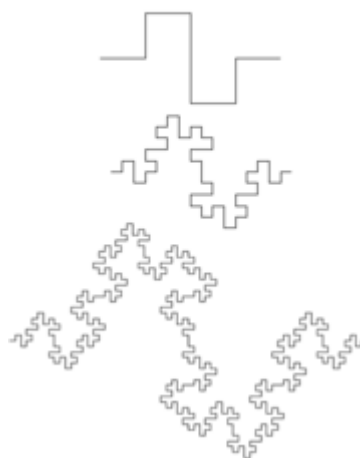
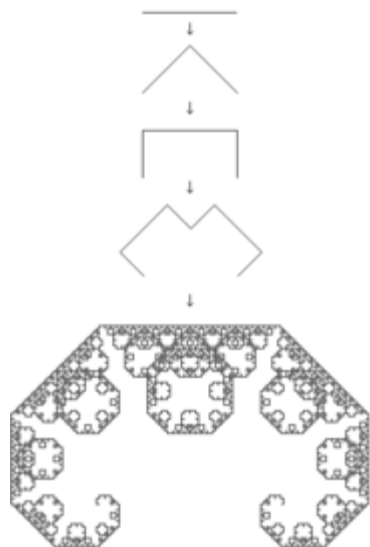
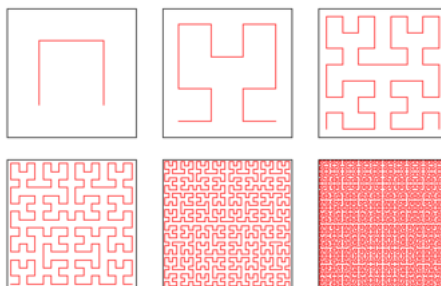
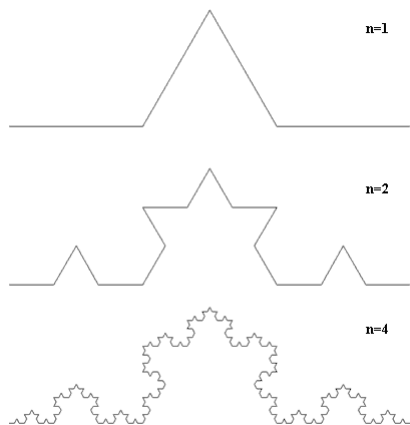
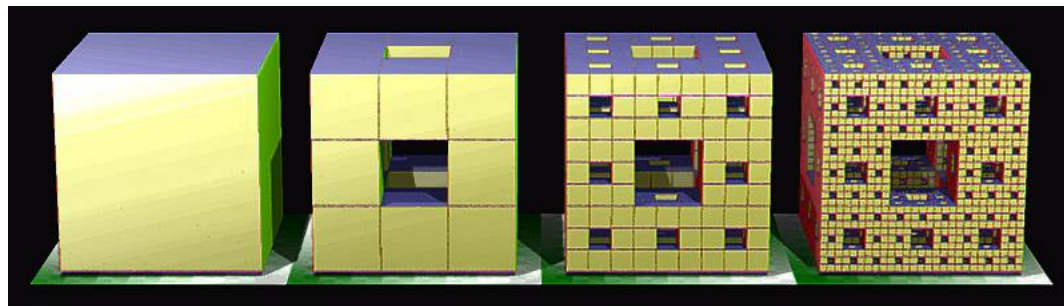
- требования к алгоритму:
естественный вид поверхности,
построенной на основе случайных
отклонений высоты, при различных
уровнях детализации;
- алгоритмы на основе смещения
средней точки (midpoint
displacement techniques) –
Diamond-Square algorithm
- <http://www.vterrain.org>



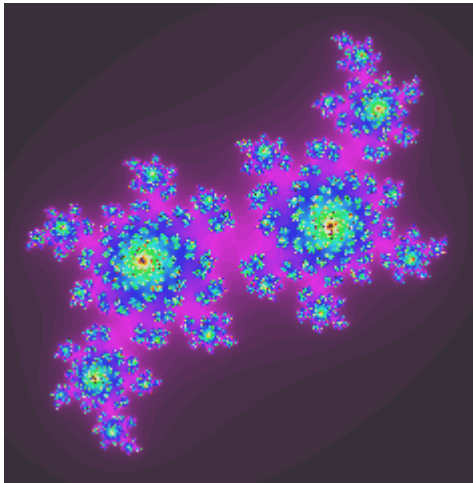
Фракталы

- Бенуа Мандельброт (Benoit Mandelbrot);
- *фрактал* - бесконечно самоподобная геометрическая фигура, каждый фрагмент которой повторяется при уменьшении масштаба (масштабная инвариантность, наблюдаемая во фракталах, может быть либо точной, либо приближённой);
- процедура построения:
 - геометрические фракталы;
 - алгебраические фракталы (итерации нелинейных отображений, задаваемых простыми алгебраическими формулами);
 - стохастические фракталы;
- фракталы позволяют описывать целые классы изображений, для детального описания которых требуется относительно мало памяти;
- фракталы используются при создании изображений сложных, похожих на природные, объектов (облаков, снега, береговых линий, рельефа и др.).

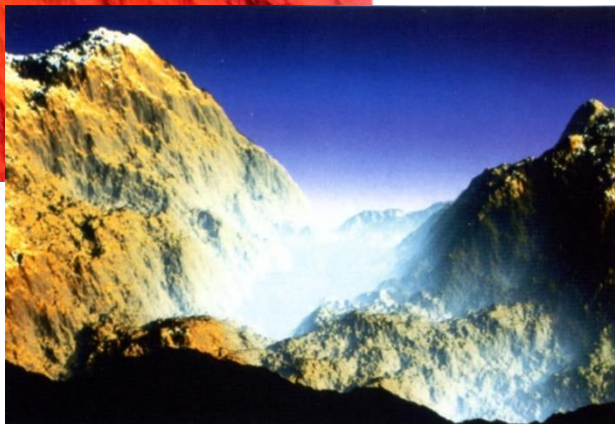
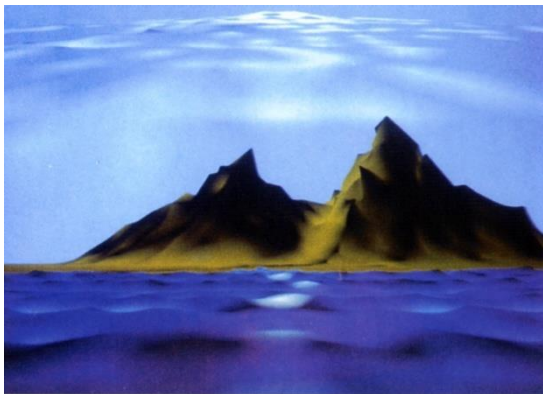
Геометрические фракталы



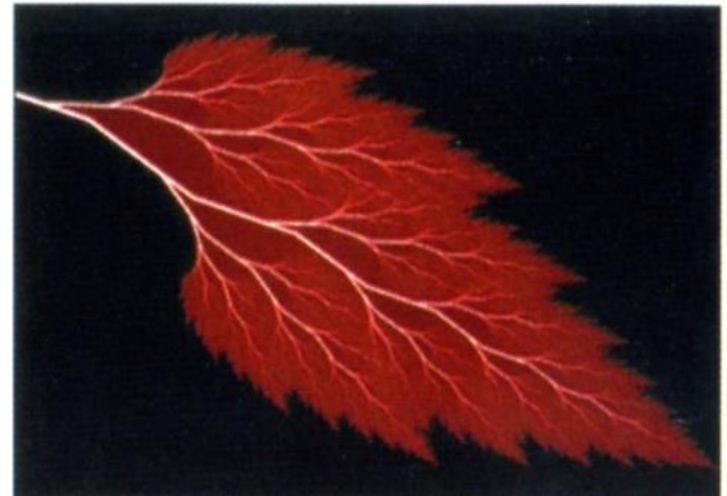
Алгебраические фракталы



Стохастические фракталы: рельеф

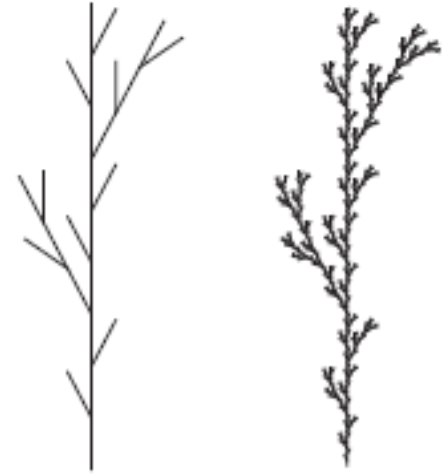


Стохастические фракталы: природные объекты



L-системы (L-systems)

- системы, описывающие рекурсивную природу роста растений (Aristid Lindenmayer, 1968)
- L-системой называется грамматика, в которой все возможные правила вывода (productions) применяются одновременно;
- детерминированная контекстно-свободная L-система – L-система, в которой для каждого символа существует единственное правило вывода, имеющее вид $\lambda \rightarrow W$ (λ – символ, W – слово).



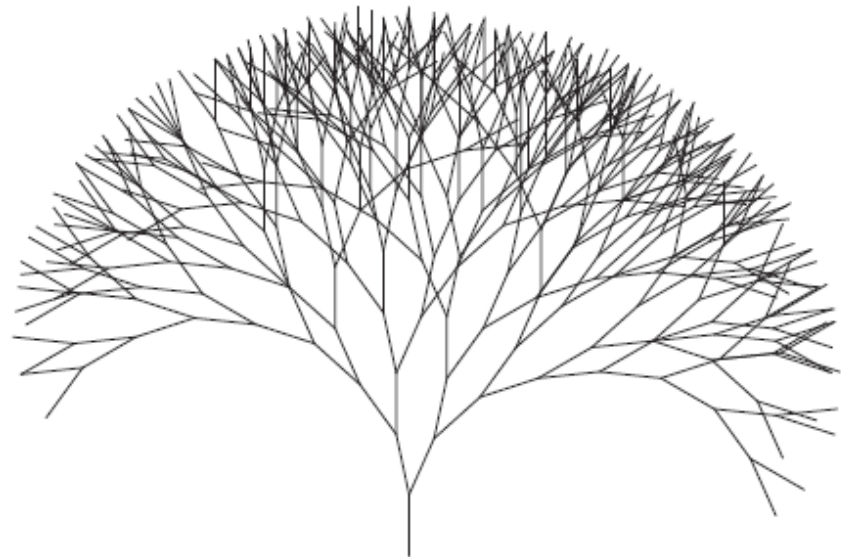
$$F_1 \rightarrow F_0[+ + F_1] - F_1$$

$$F_1 \rightarrow F_0[+F_1] - F_1$$

$$F_1 \rightarrow F_0[+F_1] - F_1$$

$$F_1 \rightarrow F_0[+ + F_1] - F_1$$

$$F_0 \rightarrow F_0$$



Лабораторная работа №6 - построение реалистичных изображений

- базовой лабораторной работой является лабораторная работа №3 (модельно-видовые преобразования и преобразования проецирования);
- определить параметры модели освещения OpenGL (свойства источника света, свойства материалов (поверхностей), характеристики глобальной модели освещения);
- исследовать один из методов повышения реалистичности получаемых изображений сцены (в соответствии с вариантом);
- реализовать один из алгоритмов анимации (в соответствии с вариантом);
- реализовать наложение текстуры (загрузка из файла *.bmp или процедурная генерация) с возможностью отключения (в соответствии с вариантом);
- разработать формат описания сцены и обеспечить сохранение и загрузку сцены из файла описания.

Вопросы к экзамену

- Анимация: определение, процедура. Спецификация движения. Твининг-анимация. Учёт физических законов при анимации. Обнаружение столкновений. Абсолютно упругие соударения.
- Простая модель освещения и её компоненты: диффузное отражение, зеркальное отражение, рассеянный свет. Вычисление вектора отражения и промежуточного вектора. Учёт расстояния от источника света до поверхности.
- Модель освещения OpenGL и ее параметры: общий вид модели освещения, определение характеристик источника света, определение параметров среды и свойств граней (материалов).
- Плоское и плавное закрашивание граней. Метод Гуро. Метод Фонга.
- Прозрачность и преломление. Вычисление преломлённого луча. Альфа-канал. Комбинирование цветов с учётом прозрачности. Прозрачность и смешивание цветов в OpenGL.
- Построение теней при создании реалистических изображений. Учет теней в алгоритмах удаления невидимых поверхностей.
- Алгоритм трассировки лучей с использованием глобальной модели освещения.
- Использование текстурных карт при создании реалистичных изображений. Процедурная генерация текстур. Метод возмущения нормали. Наложение текстур и гиперболическая интерполяция. Масштабирование текстур и текстурная фильтрация.
- Фракталы и L-системы.